## МИНИСТЕРСТВО ОБРАЗОВАНИЯ И НАУКИ РОССИЙСКОЙ ФЕДЕРАЦИИ

федеральное государственное бюджетное образовательное учреждение высшего образования

«Тольяттинский государственный университет» Институт машиностроения

Кафедра «Оборудование и технологии машиностроительного производства» Направление 151001.65 «Конструкторско-технологическое обеспечение автоматизированных машиностроительных производств» Специальность «Технология машиностроения»

### ВЫПУСКНАЯ КВАЛИФИКАЦИОННАЯ РАБОТА (ДИПЛОМНЫЙ ПРОЕКТ)

на	тему _	Разработка	технологии	двух	резцового	точения	на	примере
тех	нологиче	ского процесс	а изготовлени	и шток	:a			_
Сту	удент(ка)		С.Н.Черно	В				
5	A()		(И.О. Фами			(личная по	одпись)	
Рук	оводител	Ъ	Д.А.Расторі	уев				
			(И.О. Фами			(личная по	одпись)	
Кон	нсультант	ъ	Л.Н.Горин					
			(И.О. Фами			(личная п	одпись)	
			Н.В.Зубког					
			(И.О. Фами <b>D. Г. D</b>			(личная по	одпись)	
			В.Г. Вити					
			(И.О. Фами	лия)		(личная по	одпись)	
Дог	іустить і	с защите						
И.о	. заведую	ощего кафедро	й					
к.т.	н, доцент	1				А.В. Бо	бров	ский
				(личная под	пись)		-	
				<b>«</b>				2016 г.

Тольятти 2016

#### МИНИСТЕРСТВО ОБРАЗОВАНИЯ И НАУКИ РОССИЙСКОЙ ФЕДЕРАЦИИ

федеральное государственное бюджетное образовательное учреждение высшего образования «Тольяттинский государственный университет» Институт машиностроения Кафедра «Оборудование и технологии машиностроительного производства»

И.о. зав. кафедрой _			А.В.Бобровский
	<b>«</b>	<b></b> >>	2016 г

#### ЗАДАНИЕ

# на выполнение выпускной квалификационной работы (уровень специалиста)

## <u>направление подготовки 151001.65 «Конструкторско-технологическое обеспечение</u> <u>автоматизированных машиностроительных производств</u>

#### Специальность «Технология машиностроения»

Ст	удент <u>Че</u>	рнов Семен Нив	колаевич		гр	ТМз-1001	<u></u>	
1.	Тема	<u>Разработка</u>	технологии	двух	резцового	точения	на	примере
тех	кнологи	ического проц	есса изготовле	ния шт	<u>гока</u>			
2. 0	Срок сда	чи студентом за	конченной выпу	скной кв	алификационн	ой работы «		2016 г.
3.	Исходни	ые данные к вы	ыпускной квали	фикацио	нной работе _	годовой объ	ьем вы	<u>ыпуска 500</u>
<u>der</u>	п/год, 2 с	смены						
Tun Bee 1)(C 2)T 3)(C 4)I	пульный гдение, ц Эписание Гехнолого Говершен Гроекти	лист. Задание. цель проекта г исходных данны ическая часть пр чствование опер	роекта раций с помощью	пация). С патент	одержание.	,		
<i>6)I</i>	Іроектиј	рование средств	в контроля					
			ность техничесь	сого объе	гкта			
8)5	∂кономич	ческая эффекти	вность проекта					

Заключение. Литература.

Приложения: технологическая документация

#### Аннотация

Чернов С.Н. Разработка технологии двух резцового точения на примере технологического процесса изготовления штока. Кафедра «Оборудование и технологии машиностроительного производства». ТГУ: Тольятти, 2016, — 98 с., листов формата А1.

Ключевые слова: Технологический процесс, заготовка, база, маршрут, металлорежущее оборудование, инструмент, станочное приспособление, технологическая система.

Цель работы – разработка техпроцесса изготовления детали «Штока» для условий среднесерийного производства с использованием высоко производительных методов, включая двух резцовое точение.

Разработана установка для двух резцового точения маложесткой детали – штока на операциях токарной обработки.

# Содержание

Введение, цель проекта	5
1. Описание исходных данных	6
1.1. Служебное назначение и условия работы детали	6
1.2. Систематизация поверхностей	6
1.3 Анализ технологичности детали	8
1.4. Формулировка задач работы	10
2. Технологическая часть проекта	11
2.1 Выбор типа производства	11
2.2. Выбор способа получения заготовки	11
2.3 Выбора технологических переходов по обработке поверхностей	15
2.4 Определение припусков и проектирование заготовки	17
2.5. Анализ базового и разработка нового технологического маршрута _	20
2.6. Выбор средств технологического оснащения	22
2.7. Проектирование технологических операций	32
3. Совершенствования операций с помощью патентных исследований	45
4. Проектирование приспособления	53
4.1 Сбор данных	53
4.2 Расчет усилия на приводе	53
4.3 Расчет погрешности установки	56
4.4 Описание конструкции приспособления	57
5. Проектирование режущего инструмента	59
6. Проектирование средств контроля	64
7. Безопасность и экологичность технического объекта	65

8. Экономическая эффективность проекта	74
8.1. Краткая характеристика сравниваемых вариантов	74
8.2. Расчет необходимого количества оборудования и коэффициентов	
его загрузки	76
8.3. Расчет дополнительных исходных данных для станков с ЧПУ	77
8.4. Расчет капитальных вложений в совершенствование ТП	77
8.5. Расчет технологической себестоимости сравниваемых вариантов	78
8.6. Расчет показателей экономической эффективности	81
Заключение	83
Литература	84
Приложения	87

# введение, цель проекта

Цель работы - обеспечение заданного годового объема выпуска деталей «Шток» требуемого качества с наименьшими затратами. Данная цель достигается путём разработки высоко производительной технологии многорезцовой обработки на переходах точения.

#### 1. ОПИСАНИЕ ИСХОДНЫХ ДАННЫХ

Задача — на базе анализа технических требований к штоку, анализа его технологичности и анализа типового технологического процесса изготовления наметить пути повышения эффективности обработки.

#### 1.1. Служебное назначение и условия работы детали

Деталь «Шток» является приводной деталью зажимного приспособления. Она служит для передачи линейного движения от поршня пневматического цилиндра к зажимным шестерням. Шестерни закреплены на поворотных прихватах, которые фиксируют заготовку, установленную в центре приспособления.

Шток работает при действии продольной знакопеременной нагрузки динамического характера. Под действием ударов в крайних положениях знакопеременного характера, а также силы трения шток, вследствие своей маложесткости, подвергается короблению и изнашиванию трущихся поверхностей.

#### 1.2. Систематизация поверхностей

Систематизация поверхностей по назначению представлена на основании нумерации на рис. 1.1.

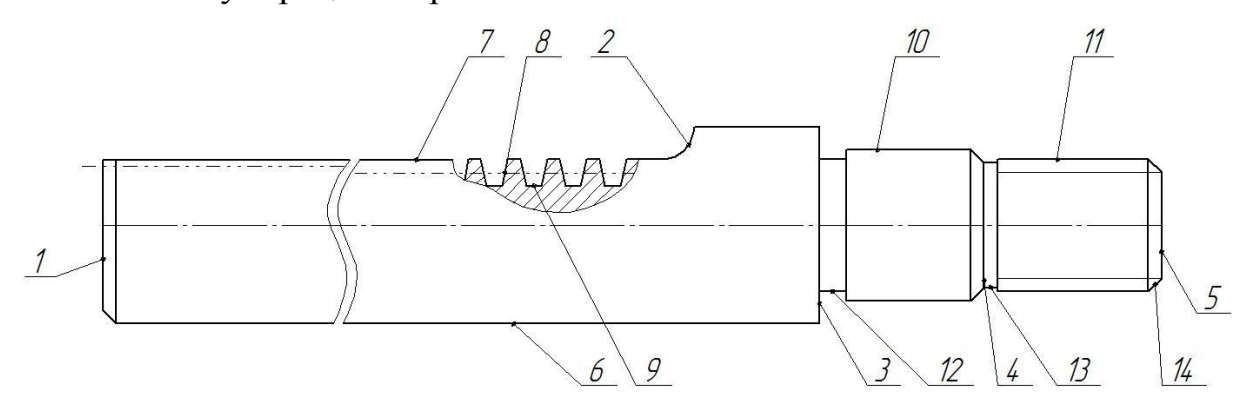


Рис.1.1 Эскиз штока

Исполнительные или рабочие поверхности (И) выполняют передачу продольного усилия - торцовая поверхность 3 и зубчатая поверхность 11.

Основная конструкторская база (ОБ): цилиндрическая шейка - направляющая пов. 5 и задающая осевое положение штока - торцовая поверхность 3 .

Вспомогательные конструкторские базы (ВБ) определяют положение всех контактирующих со штоком деталей (кроме указанных в ОКБ) — это цилиндрическая пов. 6 под поршень, резьбовая пов. 7 под гайку и фиксатор поршня.

Свободные поверхности (С) не сопрягаются с другими деталями - это пов. 1, 2, 8, 4, 9.

Все технические требования по поверхностям систематизированы и представлены в табл. 1.1.

Таблица 1.1 - Технические требования к штоку

Пон	верхно	СТЬ	Форма,	располо	жение	Квал.	Допус	Размеры		
№	Тип	Фор	Погре	Знач.	Допус	Точн.	к	Степе	Шеро	Тверд
		ма	шн.	MM	к,			НЬ	XOB.	ость,
					MM			точн.	R <sub>a</sub> ,	HRC
									МКМ	
1	2	3	7	4	5	6	8	9	10	11
1	С	П		920	0,87	13			12,5	30-32
2	ВБ	П	上	14	0,43	13	0,1	12	12,5	
3	И,	П	1	380	1,4	13	0,02	9	1,6	
	ОБ									

1	2	3	4	5	6	7	8	9	10	11
4	С	П	50	0,025	13				12,5	
5	С	П	920	0,87	13		0,02	5	12,5	
								5		
6	ОК	Ц	56	0,019	7	©	0,01	6	1,6	
	Б					О	0,008			
7	С	П	50	0,3	4				3,2	
8	И	3	8	0,03	7 ст.т.				1,6	
9	С	3	22	0,2	7 ст.т.				12,5	
10	ОК Б	Ц	46	0,018	6	О	0,006	6	0,63	
11	ВК	P	40	0,08	4 ст.т.				3,2	
	Б									
12	С	Ц	8	0,15	13				12,5	
13	С	Ц	9	0,15	13				12,5	

#### 1.3 Анализ технологичности детали

Материал детали – сталь 40X2H2MA ГОСТ1050-74. Его химический состав следующий:

- 0,42...0,46 % C;
- 0,5...0,8% Mn;
- 0,17-0,37% Si;
- 0,25% Cr;
- 0,04% S;
- 0,035% P;
- 0,25% Cu;
- 0,25% Ni;

- 0,08% As.

При термообработке необходимо предусмотреть меры по исключению коробления штока при нагреве-остывании. В результате температурных воздействий, фазовых переходов и объемных изменений заготовки будут возникать процессы коробления. Для их минимизации необходимо выполнять натяжение заготовки в процессе нагрева-остывания. Это можно делать, подвешивая ее с грузом или используя специальные стапели.

Исходную заготовку штока возможно получить и из сортового проката, и штамповкой или ковкой. Форма заготовки в любом случае получается простая.

Свободные поверхности необходимо получить по 13 квалитету точности. На заготовительном этапе такую, относительно высокую точность не обеспечить.

Конфигурация по канавкам, фаскам, радиусам стандартизирована и унифицирована.

Базами для установки заготовки штока является цилиндрическая поверхность проката или штамповки и любая торцовая поверхность. После зацентровки можно использовать как базы и центра, и шейки.

Обрабатывать необходимо все поверхности детали. Число обрабатываемых поверхностей при этом невелико.

Протяжённость обрабатываемых поверхностей вызывает технологические трудности. Шток имеет отношение длины к диаметру около 15. Это относит его к классу маложестких валов.

Соответственно обеспечением возникают трудности c точности, производительности. Это большими шероховатости И связано деформациями от сил резания, неуравновешенности при ее вращении. Все это приводит к колебаниям при резании, что плохо сказывается на шероховатости обработанной поверхности и стойкости инструмента. Снижается также точность обработки.

По совокупности всех показателей шток не является технологичным.

#### 1.4. Формулировка задач работы

В результате имеем ряд задач, которые необходимо решить для достижения цели:

- выбрать тип производства;
- выбрать рациональный метод получения исходной заготовки, спроектировать ее, включая аналитический расчет припуска на обработку самой точной поверхности;
- спроектировать общий технологический маршрут на основе маршрутов обработки отдельных поверхностей, задать структуру технологических операций, разработать схемы базирования заготовки;
- подобрать соответствующие средства технологического оснащения (CTO);
- спроектировать технологические операции (режим обработки, норма времени);
- усовершенствовать техпроцесс изготовления штока путем разработки и проектирования установки для двух резцового точения, включая режущий инструмент и систему контроля;
- разработать мероприятия по экологичности проекта и охране труда;
- обосновать нововведения в техпроцессе экономически.

#### 2. ТЕХНОЛОГИЧЕСКАЯ ЧАСТЬ ПРОЕКТА

#### 2.1 Выбор типа производства

Задача раздела — в зависимости от типа производства выбрать оптимальную стратегию разработки ТП — принципиальный поход к определению его составляющих, способствующий обеспечению заданного выпуска деталей заданного качества с наименьшими затратами.

Заданный объем выпуска детали «Шток» 500 дет./год соответствует среднесерийному производству [16].

#### 2.2. Выбор способа получения заготовки

Задача раздела — выбрать методы получения заготовки и обработки поверхностей штока, обеспечивающие минимум суммарных затрат на получение заготовки и ее обработку.

По [15] определяем, что для детали типа «Шток» средней сложности из стали 40XH2MA для среднесерийного производства целесообразно применить в качестве заготовки прокат или горячую штамповку. Для окончательного выбора метода получения заготовки выполним сравнительный экономический анализ. В основу анализа положим сравнение суммарных стоимостей C затрат на получение собственно исходной заготовки  $C_3$  и на ее механическую обработку  $C_{\text{обр}}$ . Расчет выполняем согласно методике [19]:

$$C_i = C_{3i} + C_{o6pi}$$
, (2.1)

где i — номер варианта получения заготовки. В нашем случае i=1 для заготовки из проката, i=2 для штампованной заготовки.

Переменные затраты на получение заготовки С<sub>3</sub>, руб., составляют:

$$C_{3i}=0.001\times\coprod_{Mi}\times M_{3i}\times K_{cni}\times K_{Ti}\times K_{cni},$$
 (2.2)

или

$$C_{3i}=0.001\times \coprod_{Mi}\times M_{\pi}\times K_{cni}\times K_{ri}\times K_{cni}/K_{MM}, \qquad (2.3)$$

где Цмі— цена 1 т. исходного материала штамповки, руб./т;

 $M_{_{\! I\! J}}$  и  $M_{_{\! 3i}}$  — масса соответственно детали и заготовки, кг;

 $K_{\text{имі}} = M_{\text{д}} / M_{\text{зi}}$  — коэффициент использования материала;

 $K_{\text{спі}}$ ,  $K_{\text{ті}}$ ,  $K_{\text{слі}}$ ,— коэффициенты, учитывающие соответственно способ получения заготовки, ее точность и сложность. Рассчитаем  $C_3$  для каждого из вариантов.

Вычерчиваем контур детали (рис. 2.1). На этом же эскизе вычерчиваем контуры заготовки из проката и штамповки (без масштаба).

- 2) По [19,20] определяем ориентировочно припуск на обработку 2Z:
  - а) для штампованной заготовки

для пов. 6 (d=60, Ra=1,6) 
$$2Z_2=2,5$$
 мм;

для пов. 10 (d=46, Ra=0,63) 
$$2Z_2=2,0$$
 мм;

припуски по торцам пов. 1, 3, 4,5  $\mathbb{Z}_2=2$  мм.

- б) для заготовки из проката принимаем припуски:
- по диаметру 2Z=3,5 мм;
- по торцам Z=2 мм.
- 3) Определяем напуски.

Для заготовки из проката принимаем ближайший диаметр прутка  $\emptyset$ 68 [7]. Для штамповки назначаем предварительно штамповочный уклон  $5^0$  и радиусы штамповочных переходов R2. Вычерчиваем напуски на рис. 2.1 и проставляем размеры заготовки с учетом припусков и напусков.

4) Определяем массу детали  $M_{\rm J}$  и заготовки  $M_{\rm 3}$ , кг:

$$M_{\text{Д}}=0.785\times(d_1^2\times l_1+d_2^2\times l_2+d_3^2\times l_3)\times\rho,$$

где  $d_1$ ,  $d_2$ ,  $d_3$ ,  $l_1$ ,  $l_2$ ,  $l_3$  — диаметры и длины элементарных объемов трех шеек, на которые разбиваем весь объем детали, см; р—плотность стали 40XH2MA, г/см<sup>2</sup>.

$$M_{\text{Д}} = (2^2 \times 5 + 2, 3^2 \times 5 + 3^2 \times 82) \times 0,00785 = 6,7 \text{ кг}$$

$$M_{\text{31}} = 0,785 \times d^2 \times l \times \rho,$$

где d—диаметр проката, см;

1—длина заготовки, мм.

$$M_{31}$$
=(3,15<sup>2</sup>×82+2,5<sup>2</sup>×10)×0,00785=7,1 кг  $M_{32}$ =3,6<sup>2</sup>×92,3×0,00785= 9,4 кг.

5) Коэффициент использования материала:

$$K_{\rm HM1} = \frac{M_{o}}{M_{31}} = \frac{6.7}{7.1} = 0.94;$$
 
$$K_{\rm HM2} = \frac{M_{o}}{M_{32}} = \frac{6.7}{9.4} = 0.71.$$

6) Определяем Цм, руб./т и поправочные коэффициенты по [11]:

$$\coprod_{M1}$$
=1300 руб./т;  $\coprod_{M2}$ =770 руб./т;  $K_{CII1}$ =1,1;  $K_{CII2}$ =2,0;  $K_{T2}$ =1,0;  $K_{CII2}$ =0,85.

7) Подставляем найденные значения в формулу (2.3):

 $C_{31} = 0.001 \times 1300 \times 6.7 \times 1.1 \times 0.85 / 0.94 = 8.7$  pyб.

 $C_{32} = 0.001 \times 700 \times 6.7 \times 2.0 \times 1.0 \times 0.85 / 0.71 = 11.2 \text{ py}6.$ 

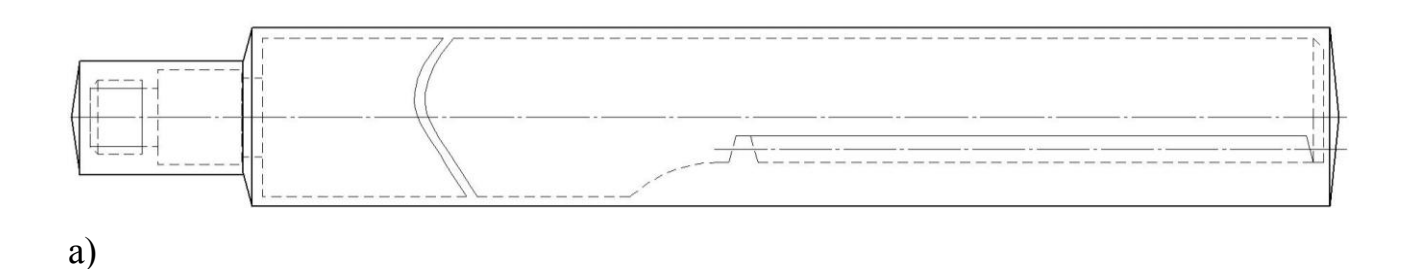
Переменные затраты на черновую обработку  $C_{\text{обр}}$ , руб. составляют:

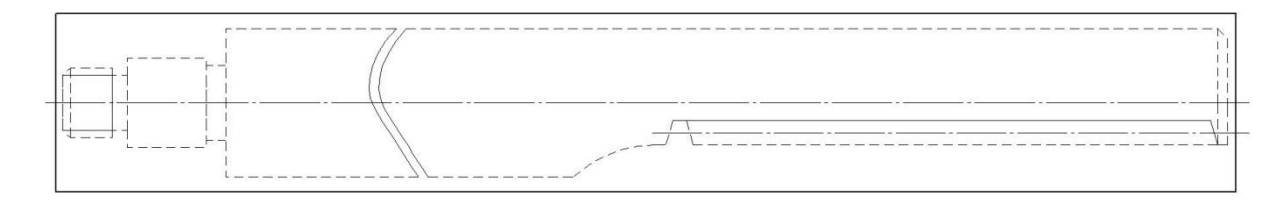
$$C_{\text{ofpi}} = C_{\text{VJ}} \times (M_{\text{3i}} - M_{\text{J}}) / K_{\text{o}}, \qquad (2.5)$$

или

$$C_{\text{ofbi}} = C_{\text{VI}} \times M_{\text{I}} \times (1/K_{\text{WMi}} - 1)/K_{\text{o}},$$
 (2.6)

где  $C_{yд}$  —удельные затраты на снятие 1 кг. стружки при черновой обработке, руб./кг;





б)

Рис. 2.1 Эскизы заготовок: а- штамповка; б – прокат

К<sub>о</sub> — коэффициент обрабатываемости материала.

Рассчитаем  $C_{\text{обр}}$  для каждого из вариантов.

По [19] определяем для серийного производства  $C_{yz}=6,0.$ 

По [3] определяем для стали 40XH2MA  $K_o = 0.8$ .

Подставляем найденные значения в формулу (2.6):

$$C_{o\delta p1} = 6.0 \times 6.7 \times \frac{\frac{1}{0.94} - 1}{0.8} = 3.2;$$

$$C_{o\delta p2} = 6.0 \times 6.7 \times \frac{\frac{1}{0.71} - 1}{0.8} = 20.5.$$

Подставляя полученные значения  $C_3$  и  $C_{\text{обр}}$  в формулу (2.1), получим:

$$C_1 = 8,7+3,2=11,9\,$$
 руб. 
$$C_2 = 11,2+20,5=31,5\,$$
 руб. 
$$C_1 < C_2.$$

По минимуму приведенных затрат принимаем  $1^{\text{ый}}$  вариант – штамповку.

#### 2.3 Выбора технологических переходов по обработке поверхностей

Методы обработки и их последовательность определяем по методике [7, 17, 18] в зависимости от требуемой точности и шероховатости поверхности.

При этом примем во внимание следующие положения: кроме указанных в [20] переходов необходимо согласно требованиям чертежа штока ввести термообработку (TO) — химико-термическую обработку и закалку с отпуском; шток — деталь нежесткая  $(\frac{1}{d} \approx 15)$ , поэтому в процессе термообработки возможно его коробление и снижение точности на 1 квалитет. Заготовка штока — штамповка, относительно чистая, очищается от окалины. Величину облоя и заусенцев задают не более 1 мм. Поэтому перед механической обработкой обдирочное шлифование вводить не нужно. Обработку штока до TO экономически выгодно проводить методами лезвийной обработки, а после TO — методами абразивной обработки.

Выбор методов обработки поверхностей детали начинается с самой точной поверхности. Такой поверхностью является пов. 6.

По [17, 19] определяем, что для обработки поверхностей 6 и 10 (7 и 6 квалитет точности соответственно, шероховатость  $R_a$ =1,6 мкм) применяются варианты переходов, представленных в табл. 2.1.

Таблица 2.1 - Переходы по обработке пов. 6 и 10

No	Переходы								
Bap	1	2	3	4	5	6	мкость		
-T									
1	T (12)	$T_{\pi}^{1,6}(10)$	$T_{\rm q}^{2,6}(8)$	$T_{T}^{4,1}(6)$	TO(7)	Ш <sub>ч</sub> (6)	8,3		
2	T (12)	$T_{\pi}^{-1,6}(10)$	$T_{\rm q}^{2,6}(8)$	TO (9)	$\coprod_{\mathrm{q}}^{2,7}(7)$	Ш <sub>ч</sub> (6)	6,9		
3	T (12)	$T_{\pi}^{-1,6}(10)$	$T_{\rm q}^{2,6}(8)$	TO (9)	${\rm III}_{\rm II}^{2,2}(8)$	Ш <sub>ч</sub> (6)	6,4		
4	T (12)	$T_{\pi}^{1,6}(10)$	TO (11)	$\coprod_{\Pi}^{2,2}(9)$	$\coprod_{\mathrm{q}}^{2,7}(7)$	Ш <sub>ч</sub> (6)	6,5		

В табл. 2.1 обозначено: показатель степени – трудоемкость;

Переходы: Т-точение черновое;

 $T_{\pi}$  – получистовое точение;

Т<sub>ч</sub>- чистовое точение;

Т<sub>т</sub>- тонкое точение;

Ш- черновое шлифование;

Ш<sub>п</sub>− получистовое шлифование;

 $\coprod_{\text{ч}}$  – чистовое шлифование;

ТО – термообработка (закалка).

Из технологических соображений принимаем последовательность обработки 3 ( $K_{v3}$ =6,4):

 $T(12) T_{\pi}^{1,6}(10) T_{\tau}^{2,6}(8) TO(9) \coprod_{\tau}^{2,7}(7) \coprod_{\tau}(6)$ 

Полученным выше результатом воспользуемся для назначения методов обработки других поверхностей .

Резьба под гайку, пов. 11 (4-я степень точности, Ra=3,2):

T(12; 12,5)– $T_{\pi}(9; 3,2)$ – Нарезание резьбы (6ст.т., 6,3)–TO – Резьбошлифование (4 ст.т., 3,2);

Обработка канавок, пов. 12, 13, фаска 14 (13; 12,5):

 $T_{\Pi}(9; 3,2)$ – TO.

Лыска, пов. 2, 7 (13; 3,2)

 $\Phi(12; 12,5) - TO(13)$ .

Торец, пов. 3 (12; 3,2):

 $T(12; 12,5)-T_{\pi}(9; 6,3)-TO(11)-III(7;1,6).$ 

Торцы, пов 1, 4 (14;12,5):

Лыска, пов. 8 (10; 1,6):

 $\Phi(9; 1,6)$  –TO(10).

Центровые отверстия, пов. 16 и 17:

 $C(9; 1,6)-TO(9)-\coprod_{II}(8; 0,8)$ 

С-сверление, Ш<sub>ц</sub> -центрошлифование.

В учетом табл. 2.1 составляется сводная таблица переходов по обработке поверхностей штока (табл.2.2).

Необходимо учесть, что в данном технологическом процессе используется двух резцовая головка. За счет уравновешивания сил резания, повышения жесткости заготовки в зоне резания из выбранного варианта можно исключить один из переходов. В результате время обработки на токарных операциях сократится, что будет отражено в экономическом разделе.

### 2.4 Определение припусков и проектирование заготовки

Задача раздела – аналитически рассчитать припуск на самую точную поверхность и спроектировать заготовку.

Припуск на самую точную поверхность 6  $\emptyset$ 60f6( $^{-0.030}_{-0.049}$ ) рассчитаем аналитическим методом по [11]. Результаты расчета будем заносить в табл. 2.3.

Для каждого перехода определяем составляющие припуска.

Таблица 2.2 - Переходы по обработке поверхностей детали «Шток»

№	Вид	Квал.	Шерох	Последовательность
пов.	Пов.	Точн.	Ra, мкм	обработки
1	П	13	12,5	Ф-ТО
5	П	13	12,5	Ф-ТО
2,7	Φ	13	12,5	Фч-ТО
3	П	13	1,6	Т-Тп-ТО-Ш
6	Ц	6	1,6	Т-Тп-ТО-Ш-Шп
10	Ц	6	1,6	$T-T_{\Pi}-TO-\coprod\coprod-\coprod_{\Pi}$
11	P	4	3,2	Т-Т <sub>п</sub> -Нарез. Резьбы-ТО-Ршл
12,13,14	Ф	13	12,5	Тч-ТО
4	Ф	13	12,5	Ф–ТО-Шл
8,9	3	7	1,6	Ф-Фч-ТО

По [11,17] определяется суммарная величина  $a=h_{\partial}+R_z$ , где  $R_z$  - высота неровностей профиля, мм.,  $h_{\partial}$  - глубина дефектного слоя, мм.

По формуле  $\Delta = 0.25 \text{Td}$  определяется суммарное отклонение формы и расположения поверхности после обработки на всех переходах.

По [11,17] определяется погрешность установки  $\varepsilon$  заготовки в приспособлении на каждом переходе. Принимается равной нулю в случае установки в центрах.

Минимальное значение припуска на переходе определяется по формуле:

$$Z_{i\,min} = a_{i-1} + \sqrt{\Delta_{i-1}^2 + \varepsilon_i^2} \,. \tag{2.7}$$

Здесь и далее индекс i относится к данному переходу, i-1 - к предыдущему переходу; i+1 - к последующему переходу.

$$\begin{split} &Z_{1\,\text{min}}=2\cdot(a_0+\sqrt{\Delta_0^2+\varepsilon_1^2}=0.4+\sqrt{0.55^2+0^2}\,)=1,\!6\text{м}\text{м};\\ &Z_{2\,\text{min}}=2\cdot(a_1+\sqrt{\Delta_1^2+\varepsilon_2^2}=0.2+\sqrt{0.024^2+0^2}=0,\!548\,\text{м}\text{м};\\ &Z_{3\,\text{min}}=2\cdot(a_2+\sqrt{\Delta_2^2+\varepsilon_3^2}=0,\!25+\sqrt{0.016^2+0^2}=0,\!432\,\text{м}\text{м};\\ &Z_{4\,\text{min}}=2\cdot(a_3+\sqrt{\Delta_3^2+\varepsilon_4^2}=0,\!15+\sqrt{0.008^2+0^2}=0,\!316\,\text{м}\text{м}. \end{split}$$

Максимальное значение припуска определяется по формуле

$$Z_{i\max} = d_{(i-1)\max} - d_{i\max}. \tag{2.8}$$

$$2 \cdot Z_{1 \max} = 2 \cdot (d_{0 \max} - d_{1 \max}) = 65,047 - 61,497 = 3,55;$$
  
 $2 \cdot Z_{2 \max} = 2 \cdot (d_{1 \max} - d_{2 \max}) = 61,497 - 60,783 = 0,714;$   
 $2 \cdot Z_{3 \max} = 2 \cdot (d_{2 \max} - d_{3 \max}) = 60,783 - 60,319 = 0,464;$   
 $2 \cdot Z_{4 \max} = 2 \cdot (d_{3 \max} - d_{4 \max}) = 60,319 - 59,97 = 0,349.$ 

Определяется среднее значение припусков для всех переходов по формуле:

$$Z_{cpi} = \{ z_{i \max} + Z_{i \min} \} 2. \tag{2.9}$$

$$2Z_{cp1} = 2 \langle x_{1 \text{max}} + z_{1 \text{min}} \rangle 2 = \langle .6 + 3,55 \rangle 2 = 5,275;$$
  
 $2Z_{cp2} = 2 \langle x_{2 \text{max}} + z_{2 \text{min}} \rangle 2 = \langle .6 + 3,55 \rangle 2 = 5,275;$   
 $2Z_{cp2} = 2 \langle x_{2 \text{max}} + z_{2 \text{min}} \rangle 2 = \langle .6 + 3,55 \rangle 2 = 5,275;$   
 $2Z_{cp3} = 2 \langle x_{2 \text{max}} + z_{2 \text{min}} \rangle 2 = \langle .6 + 3,55 \rangle 2 = 5,275;$   
 $2Z_{cp3} = 2 \langle x_{2 \text{max}} + z_{2 \text{min}} \rangle 2 = \langle .6 + 3,55 \rangle 2 = 5,275;$   
 $2Z_{cp3} = 2 \langle x_{2 \text{max}} + z_{2 \text{min}} \rangle 2 = \langle .6 + 3,55 \rangle 2 = 5,275;$   
 $2Z_{cp3} = 2 \langle x_{2 \text{max}} + z_{2 \text{min}} \rangle 2 = \langle .6 + 3,55 \rangle 2 = 5,275;$   
 $2Z_{cp4} = 2 \langle x_{2 \text{max}} + z_{2 \text{min}} \rangle 2 = \langle .6 + 3,55 \rangle 2 = 5,275;$   
 $2Z_{cp4} = 2 \langle x_{2 \text{max}} + z_{2 \text{min}} \rangle 2 = \langle .6 + 3,55 \rangle 2 = 5,275;$ 

Определяется общий припуск для всех переходов на обработку по формулам:

$$2Z_{\min} = d_{0\min} - d_{4\max}; (2.10)$$

$$2Z_{\max} = 2Z_{\min} + Td_0 + Td_4; \tag{2.11}$$

$$2Z_{cp} = \{ Z_{\min} + 2Z_{\max} \} 2.$$
 (2.12)

$$2Z_{\min} = 62,847 - 59,97 = 2,877;$$
  
 $2Z_{\max} = 2,877 + 2,2 + 0.019 = 5,096;$   
 $2Z_{cp} = 0.5 \times 4,877 + 5,096 = 3,97.$ 

Таблица 2.3 - Результат расчета припусков

No	Наименова	Точность		Составляющие припуска,			Припуск			Преде	льные
пере	ние			MM						размеры	
хода	перехода	квалит	Td мм	a	Δ	3	$Z_{\min}$	$Z_{max}$	$Z_{cp}$	$D_{min}$	$D_{max}$
		ет									
1	2	3	4	5	6	7	8	9	10	11	12
1	Штамповка	17	2,2	0,4	0,4		-	-	-	62,8	65,0
2	Тпч	10	0,25	0,25	0,024	-	1,6	3,55	2,575	61,27	61,50
3	Тч	8	0,084	0,2	0,016	-	0,548	0,714	0,631	60,70	60,78
5	Шчер.		0,052	0,15	0008		0,432	0,464	0,448	60,267	60,319
6	Шп	7	0,021	0,01	0,004	-	0,316	0,349	0,333	59,951	59,97
итого							2,896	5,077	3,987		

При выборе способа получения исходной заготовки выбрана штамповка и на другие поверхности допуски и припуски назначаются по ГОСТ 7505-89.

Чертеж исходной заготовки – штамповки представлен на листе.

### 2.5. Анализ базового и разработка нового технологического маршрута

Задача подраздела – разработать рациональный технологический маршрут. Это последовательность операций от заготовительной, которая обеспечит изготовление из штамповки готового штока со всеми техническими условиями с минимальными затратами. При проектировании операций

разрабатываем схему базирования заготовки на всех операциях, которая обеспечивает минимальную погрешность установки.

Разрабатывается маршрут на базе типового [13-16].

В табл. 2.4 показан маршрут обработки «Штока».

Таблица 2.4 - Технологический маршрут обработки штока

No	Наименование	Обрабатываемы	Номер
этапа	операции	е поверхности	операции
1	Фрезерно-	1,5	005
	центровальная	16,15	
2	Токарная (установ А)	6	010
3	Токарная (установ Б)	3,4,5,10,11	010
4	Токарная п/чистовая	3,4,5,10,11	015
	(установ А)		
5	Токарная п/чистовая	6	015
	(установ Б)		
6	ТО (нормализация)	все	020
7	Фрезерная	2,7	025
8	Фрезерная	8,9	030
9	ТО (закалка)	Все поверхности	035
10	Центрошлифовальная	16,15	040
	Торцекруглошлифовал	10,3	045
	ьная		
11	Круглошлифовальная	6	050
12	Зубошлифовальная	8	055
13	Резьбошлифовальная	11	060

На 005 фрезерно-центровальной операции используем как технологические черновые базы пов. 6 и как опорную базу - торец  $3^{00}$ .

На 010 токарной операции используем ось, проходящую через центровые отверстия - пов.  $15^{10}$  и  $16^{10}$ . Опорная база - торцы  $5^{05}$  (установ A) и  $1^{05}$ (установ Б).

Аналогично на 015 токарной операции, а также на шлифовальных операциях. Центровые отверстия на них будут после исправления на центрошлифовальном станке.

На фрезерных операций выберем технологическими базами цилиндрическую шейку пов. 6 и торец 1.

Также устанавливается шток на центрошлифовальной операции с переустановом.

#### 2.6. Выбор средств технологического оснащения

Задача подраздела - выбрать для всех операций технологическое оборудование, зажимные станочные приспособления, режущий инструмент и средства контроля [9, 10, 21-24].

Данные по оборудованию сведены в табл. 2.5, по выбору средств технологического оснащения сведены в табл. 2.6.

Таблица 2.5 - Выбор технологического оборудования

№	Название	Содержание операции	Обрабатываемые	Квалитет	Тип, модель
опера	операции		поверхности	точности	оборудования
ции					
1	2	3	4	5	6
005	Фрезерно-	Фрезерование торцев	1,5	12	Фрезерно-
	центровальная	Сверление центровых	15,16	9	центровальный
		отверстий			полуавтомат
					MP73M
010	Токарная	Обтачивание левого конца	6	12	Токарный станок с
	черновая	Обтачивание правого конца	3,4,10,11		ЧПУ СА700СФ2К
015	Токарная	Обтачивание левого конца	7,3,6	10	Токарный станок с
	получистовая	Точение канавок	12,13	10	ЧПУ СА700СФ2К
		Точение резьбы	11	4	
		Обтачивание правого конца	3,4,10,11	10	
020	Термообработка	Нормализация	все		печь
025	Фрезерная	Фрезерование лыски	7	9	Вертикально -
					фрезерный станок
					6P13
030	Фрезерная	Фрезерование зубьев	8, 9	9	Горизонтальный -
					фрезерный станок
					6Т83Г
035	Термообработка	закалка	Bce		
040	Центрошлифовал	Шлифование центровых	15-16	7	Центрошлифоваль
	ьная	отверстий			ный станок
					ZSM810

1	2	3	4	5	6
045	Торцекруглошли	Шлифование чистовое левого	3,4	3,4 7	
	фовальная	конца			овальный станок
					3Б153Т
050	Круглошлифовал	Шлифование чистовое правого	5	7	Круглошлифоваль
	ьная	конца			ный станок
					3B151A
055	Зубошлифовальна	Шлифование зубьев	8	7	Зубошлифовальны
	Я				й станок 3В151А
060	Резьбошлифоваль	Шлифование резьбы	11	4ст.т	Резьбошлифовальн
	ная				ый станок 5Д822В
065	Моечная	Мойка детали	Bce		
070	Контрольная	Контроль всех параметров			

Таблица 2.6 - Выбор приспособлений

№ опера ции	Тип, модель станка	Содержание операции	Установочные элементы	Зажимные элементы	Типоразмер приспособления
1	2	3	4	5	6
005	Фрезерно- центровальный полуавтомат МР73М	Фрезерование крайних торцев Сверление центровочных отверстий	Призма установочная 7032- 66	0083ГОСТ 12196-	Тиски самоцентрирующ ие с призматическими губками 7200-0209-12 ГОСТ 21168-75
010	Токарный станок с ЧПУ СА700СФ2К	Обтачивание левого конца Обтачивание правого конца	Центр подпружиненный Центр упорный 7032-0018 ГОСТ 13214-79	Кулачки	Патрон ПЗКП- 315Ф8.95. Центр упорный 7032- 0018 ГОСТ 13214-79

1	2	3		4	5	6
015	Токарный станок СА700СФ2К	Обтачивание левого конца Точение канавок Точение резьбы	_	упорный 7032-0018 ОСТ 13214-79	Кулачки	Патрон ПЗКП- 315Ф8.95. Центр упорный 7032- 0018 ГОСТ 13214-79
025	Вертикально фрезерный станок 6Р13	Фрезерование лыски	Призм	а установочная 7032- 66	0083ГОСТ 12196-	Тиски самоцентрирующ ие 7200-0209-12 ГОСТ 21168-75
030	Горизонтально фрезерный станок 6Т83Г	Фрезерование зубьев рейки	Призм	а установочная 7032- 66	0083ГОСТ 12196-	Тиски самоцентрирующ ие 7200-0209-12 ГОСТ 21168-75
035	Термообработка	Нормализация			Bce	
040	Центрошлифовал ьный станок ZSM810	Шлифование центровых отверстий	Призм	а установочная 7032- 66	0083ΓΟCT 12196-	Тиски самоцентрирующ ие 7200-0209-12 ГОСТ 21168-75

1	2	3	4	5	6
045	Торцекруглошли	Шлифование чистовое левого	Центр упорный	Хомут	Патрон
	фовальный станок 3Б153Т	конца	7032-0018 ГОСТ		поводковый 6152-
	Crusion 321031		13214-79		0133 ГОСТ 13334-
					67.
050	Круглошлифовал	Шлифование чистовое правого	Центр упорный	Хомут	Патрон
	ьный станок 3M151	конца	7032-0018 ГОСТ		поводковый 6152-
			13214-79		0133 ГОСТ 13334-
					67.
055	Зубошлифовальн	Шлифование зубьев	Призма установ	вочная 7032-	Тиски
	ый станок 3В151А		0083ГОСТ	12196-66	самоцентрирующи
	3513111				e 7200-0209-12
					ГОСТ 21168-75
060	Резьбошлифоваль	Шлифование резьбы	Центр упорный	Хомут	Патрон
	ный станок 5Д822В		7032-0018 ГОСТ		поводковый 6152-
	7,0-22		13214-79		0133 ГОСТ 13334-
					67.

Таблица 2.7 - Выбор режущего инструмента

№ опера ции	Тип, модель станка	Содержание операции	Инструментальны й материал	Типоразмер РИ
1	2	3	4	5
005	Фрезерно-	Фрезерование торцев	T5K10	Фреза торцовая d80 z=10 ГОСТ 26595-85
	центровальный полуавтомат MP73M	Сверление центровых отверстий	P6M5K5	Сверло центровочное 2317-0108ГОСТ 14952-75
010	Токарный станок	Обтачивание левого конца	T5K10	Резец контурный 2101-0645
	СА700СФ2К			ГОСТ 20872-80 тип I
010	Токарный станок	Обтачивание правого конца	T5K10	Резец контурный 2101-0645
	СА700СФ2К			ГОСТ 20872-80 тип I
015	Токарный станок	Обтачивание левого конца	T15K6	Резец контурный 2101-0645 ГОСТ 20872-
	СА700СФ2К	Точение канавок		80 тип I
015	Токарный станок	Обтачивание правого конца	T15K6	Резец контурный 2101-0645 ГОСТ 20872-
	СА700СФ2К			80 тип I
		Точение резьбы		Резец канавочный 035-1835-1836 ОСТ
				2И10-7-84
				Резец резьбовой MTHR 2525M4

	продолжение табл. 2.7					
1	2	3	4	5		
025	Вертикально	Фрезерование лыски	P6M5K5	Фреза концевая 2223-0298 ГОСТ 17026-71		
	фрезерный станок 6Р13					
030	Горизонтально	Фрезерование зубьев	P6M5	Фреза дисковая пазовая ГОСТ 3964-69,		
	фрезерный станок 6Т83Г			Ø=50		
040	Центрошлифовал	Шлифование центровых	25A F40 L 9 V	Головка шлифовальная EW 10x25x3		
	ьный станок ZSM810	отверстий		коническая ГОСТ 2447-2009		
045	Торцекруглошли	Шлифование чистовое левого	25A F40 L 9 V	Круг шлифовальный 3 350×40×127 ГОСТ		
	фовальный станок 3Б153Т	конца		2424-2008		
0.70		*** 1	221 710 75 677			
050	Круглошлифовал	Шлифование чистовое	23A F40 M 6 V	Круг шлифовальный 1 400×50×150 ГОСТ		
	ьный станок 3M151	правого конца		2424-2008		
055	Зубошлифовальн	Шлифование зубьев	25A F40 L 9 V	Круг шлифовальный 3 400×100×150 ГОСТ		
	ый станок 3В151А			2424-2008		
	JDIJIA					
060	Резьбошлифоваль	Шлифование резьбы	25A F40 L 9 V	Круг шлифовальный 3 400×20×150 ГОСТ		
	ный станок 5Д822В			2424-2008		

Таблица 2.8 - Выбор средств контроля

$N_{\underline{0}}$	Контролируемый	Квалитет	Допуск	Мерительный
	1 10		допуск	_
опера	размер	точности		инструмент
ции				_
1	2	3	4	5
005	L=0-920	12	0,7	Штангенциркуль
				ШЦ – Ш-400
				ΓOCT 166 – 89
	d=5-60	9	0,043	Шаблон
010	L=5-295	12	0,140,52	Штангенциркуль
	d=24-40		0,210,25	ШЦ — Ш-400
				ΓΟCT 166 – 89
015	L=0-150	12	0,120,4	Штангенциркуль
	d=30-75		0,250,3	ШЦ — Ш-400
				ΓΟCT 166 – 89
	M40	6ст.т.	0,03	Калибр
				резьбовой
025	L=0-295	9	0,035	Штангенциркуль
	d=30-40	9	0,03	ШЦ – Ш-400
				ΓΟCT 166 – 89
035	L=0-150	10	0,040,16	Микрометр МК-
				75-2 ΓΟCT 6507-
				90
	d=30-75		0,0840,12	Микрометр МК
			,	Ц75 ГОСТ 6507-
				90
			l	

1	2	3	4	5
040	d=5	9	0,0360,052	Микрометр МК-
	L=8		0,03	75-2 ГОСТ 6507-
				90 шаблон
045	L=50	10	0,084	Штангенциркуль
	d=46	6	0,019	ШЦ – Ш-400
	L=100	12	0,21	ГОСТ 166 – 89
050	d=60	6	0,019	Микрометр МК Ц75 ГОСТ 6507- 90
	L=0-920	8	0,020,1	Штангенциркуль
055	L=0-920	9	0,0250,13	ШЦ – III-400 ГОСТ 166 – 89
	d=12-50	7	0,062	Микрометр МК Ц75 ГОСТ 6507- 90 Шаблон
060	L=0-50	9	0,0250,1	ШЦ-111 ГОСТ 160-80
	d=40	4	0,0520,074	Микрометр МК Ц75 ГОСТ 6507- 90

#### 2.7. Проектирование технологических операций

Режим резания считается на операцию черновую **токарную 010**. Переходы выполняются последовательно.

На установе A - точение шейки 6, на установе Б точение шеек 10 и 11 и подрезание торцев 3 и 4.

Зададим глубину резания на все переходы t, мм:

Установ А: по расчету припуска  $t_{\rm I}$ = 2,6 мм. Для остальных ступенек принимается аналогично.

Выбирается подача  $S_0$ , мм/об для каждого перехода [5,8]:

Установ А: пов. 6 -  $S_{01}$ =0,4...0,5 мм/об. Принимаем  $S_{01}$ =0,4 мм/об. С учетом двух лезвийной обработки фактическая подача  $S_{01}$ =0,8 мм/об.

Установ Б:  $S_{02}$ =0,4...0,5 мм/об. Принимается  $S_{02}$ =0,5 мм/об.

Рассчитаем скорость резания при точении по формуле [8]:

$$V = \frac{C_{\nu}}{T^{m} t^{x_{\nu}} s^{y_{\nu}}} K_{\nu}, \qquad (2.9)$$

где Т-стойкость резца; при двух инструментальной обработке принимается T=60 мин;

$$K_{v} = K_{Mv} K_{nv} K_{uv} K_{\varphi v}, \qquad (2.10)$$

где  $K_{\mathrm{Mv}}$ - коэффициент, учитывающий качество обрабатываемого материала;

К<sub>пу</sub>- коэффициент, учитывающий состояние поверхности заготовки;

Киу- коэффициент, учитывающий инструментальный материал резца;

 $K_{\phi v}$ - коэффициент, учитывающий влияние главного угла в плане резца.

Найдем коэффициенты, входящие в формулу (2.9)

 $C_v=350$ ;  $x_v=0.15$ ;  $y_v=0.35$ ; m=0.2.

Поправочные коэффициенты

$$K_{Mv} = C_{M} (750/\sigma_{B})^{nv}$$

где  $C_{\rm M}\!\!=\!\!1;\ n_{\rm v}\!\!=\!\!1.0;\ K_{\rm Mv}\!\!=\!\!1\!\cdot\!(750/750)\!\!=\!\!1;\ K_{\rm nv}\!\!=\!\!0,\!8;\ K_{\rm uv}\!\!=\!\!0,\!65$  (для T5K10);  $K_{\rm ov}\!\!=\!\!0,\!7.$ 

Значения коэффициентов равны для первого и второго установов:

$$K_{v1} = K_{v2} = 1.0, 8. \cdot 0,65.0,7 = 0,36.$$

Рассчитаем скорость резания для каждого перехода:

$$V_1 = \frac{350}{60^{0.2} \cdot 2.6^{0.15} \cdot 0.5^{0.35}} \cdot 0.364 = 62 \text{ M/MUH}.$$

$$V_2 = \frac{350}{60^{0.2} \cdot 2.6^{0.15} \cdot 0.4^{0.35}} \cdot 0.364 = 67 \text{ M/MUH}.$$

Рассчитаем частоту вращения шпинделя по формуле:

$$n = \frac{1000V}{\pi \cdot d},$$

$$n_1 = \frac{1000 \cdot 62}{3,14 \cdot 60} = 329 \frac{o\delta}{MUH}.$$

$$n_2 = \frac{1000 \cdot 67}{3.14 \cdot 50} = 427 \frac{o\delta}{MUH}$$
(2.11)

Уточним частоты вращения с паспортными данными токарного станка СА700СФ2К: частота вращения шпинделя регулируется бесступенчато.

Принимаются расчетные значения.

Рассчитаем составляющую силы резания  $P_z$  при точении по формуле:

$$P_z = C_p t^{x_p} s^{y_p} v^{n_p} K_p, (2.12)$$

где v -скорость резания;

 $K_p$  — поправочный коэффициент на силу резания, зависящий от качества обрабатываемого материала, выражаемого коэффициентом  $K_{\text{мp}}$ , величина которого для стали равна:  $K_{\text{мp}} = 1$ 

$$K_P = K_{MP} \cdot K_{\wp P} \cdot K_{\gamma P}, \qquad (2.13)$$

где  $K_{\text{мр}}$ ,  $K_{\phi p}$ ,  $K_{\gamma p}$  –коэффициенты, учитывающие влияние соответственно свойств материала, главного угла в плане и переднего угла резца.

$$K_{Mp} = \left(\frac{\sigma_{g}}{750}\right)^{n_{p}} = \left(\frac{750}{750}\right)^{0.75} = 1$$

$$K_{\varphi p} = 0.89;$$

$$K_{\gamma p} = 1.25;$$

$$K_{p} = 1.0.89 \cdot 1.25 = 1.11.$$

Определяются значения коэффициентов для первого и второго переходов  $C_p$ =300; x=1,0; y=0,75;  $n_p$ =-0.15 для обоих установов одинаковые. Тогда сила резания на каждом резце

$$P_{z1} = 300 \cdot 2,6 \cdot 0,4^{0.75} \cdot 63^{-0.15} \cdot 1,11 = 300,7H \cdot P_{z1,2} = 300 \cdot 2,6 \cdot 0,5^{0.75} \cdot 67^{-0.15} \cdot 1,11 = 253H$$

Рассчитываем необходимую мощность резания:

$$N=P_zV/(102\cdot60)=2\cdot (300\cdot63)/(102\cdot60)=6,2 \text{ kBt},$$
  
 $N=P_zV/(102\cdot60)=2\cdot (253\cdot67)/(102\cdot60)=2,8 \text{ kBt},$ 

что меньше паспортной мощности станка (11 кВт). Из этого следует, что выбранное оборудование удовлетворяет требованиям режимов резания.

Для чистовых переходов по аналогичным формулам получим следующий режим обработки, вынесенный на технологическую наладку.

Установ А:  $t_2$ =0,6 мм.

пов. 6 -  $S_{02}$ =0,1 мм/об. Принимаем  $S_{02}$ =0,2 мм/об. с учетом двух лезвийной обработки.

Установ Б:  $S_{02}=0,12$  мм/об.

Скорость резания по установам:  $V_1 = 234 \,\mathrm{M/Muh.}; \ V_2 = 280 \,\mathrm{M/Muh.}$ 

Частота вращения шпинделя:  $n_1 = 1240 \frac{o \delta}{m_{HH}}$ .;  $n_2 = 1782$ 

Глубина резания:

Табличным методом назначаются режимы резания для фрезерноцентровальной операции.

Данная операция выполняется на двух позициях на фрезерноцентровальном полуавтомате MP-73M. Выполняется последовательное фрезерование торцов 1 и 5и сверление центровых отверстий 15 и 16.

Определяются припуски на подрезание торцов:

$$t_1 = t_2 = 1,6$$
 MM.

Выбирается подача  $S_z$  для двух фрезерно-центровальных головок.

Для обработки стали насадной торцовой фрезой с твердосплавными пластинами  $S_{z1}=S_{z2}=0,15$  мм/зуб.

Рассчитывается скорость резания по формуле:

$$V = V_{ma\delta\pi} \cdot K_1 \cdot K_2 \cdot K_3, \tag{2.14}$$

где  $K_1$  – коэффициент, зависящий от размеров обрабатываемой поверхности;

К<sub>2</sub> – коэффициент, зависящий от марки обрабатываемого материала;

К<sub>3</sub> – коэффициент, зависящий от стойкости и материала инструмента.

Для обработки стали торцовой фрезой с твердосплавными пластинами TT15К6 при глубине резания до 3 мм  $V_{\text{табл}}$ =240 м/мин

$$K_1=1; K_2=1,0; K_3=0,9;$$
  
V=240 · 1 · 1.0 · 0.9=180 м/мин.

Частоту вращения шпинделя рассчитаем по формуле (2.11), где подставляется диаметр фрезы

$$n = \frac{1000 \cdot 180}{3.14 \cdot 80} = 716 \frac{o\delta}{MuH}$$
.

Уточним частоту вращения по паспортным данным станка: n=710об/мин.

Рассчитаем мощность резания по формуле:

$$N_{pe3} = E \frac{Vtz_u}{1000} K_1 K_2, \qquad (2.15)$$

где Е – табличная величина;

V – скорость резания в м/мин;

t – глубина резания в мм;

z<sub>и</sub> –число зубьев фрезы;

 $K_1$  – коэффициент, зависящий от обрабатываемого материала;

 $K_2$  – коэффициент, зависящий от типа фрезы и скорости резания;

По таблице [3] определяется величина Е: Е=0,9

V=180 M/Muh; t=1,6 MM;  $z_{H}=10$ ;  $K_{1}=1,35$ ;  $K_{2}=1$ 

$$N_{pes} = 0.9 \frac{180 \cdot 1.6 \cdot 10}{1000} \cdot 1.35 \cdot 1 = 3.5 \kappa Bm$$
.

Рассчитанная мощность меньше паспортной мощности станка. Из этого следует, что выбранное оборудование удовлетворяет требованиям режимов резания.

Для сверления осевая подача  $S_o$ =0,15 мм/об.

Для обработки стали сверлением отверстием до 10 мм  $V_{\text{табл}}$ =32 м/мин

$$K_1$$
=1,1;  $K_2$ =1,0;  $K_3$ =0,9;  $V$ =32 · 1.1 · 1,0 · 0.9=31,7 м/мин.

Частоту вращения шпинделя рассчитаем по формуле (2.11), где подставляем диаметр сверла

$$n = \frac{1000 \cdot 31,7}{3.14 \cdot 6.3} = 1600 \frac{o\delta}{MUH}.$$

Уточним частоту вращения по паспортным данным станка: n=1600 об/мин.

Рассчитаем режимы резания на операцию шлифовальную 050.

Данная операция выполняется методом много переходного продольного шлифования.

Режимы резания будем выбирать, учитывая следующие факторы: материал детали и его твердость; группу обрабатываемости этого материала шлифованием; габариты детали; допуск на шлифование и требуемый параметр шероховатости; припуск на шлифование; тип и модель станка.

Разработку режима резания при шлифовании начинают с установления инструмента. Для предварительного шлифования характеристики цилиндрической шейки – пов. 6 – из нормализованной стали 40ХН2МА до шероховатости Ra = 1.25 мкм выберем материал шлифовального круга -23AF16L5V ГОСТ 2424-2008 [19]. Окончательная характеристика абразивного инструмента выявляется в процессе пробной обработки с учетом конкретных технологических условий.

Основные параметры резания при шлифовании:

- скорость вращения заготовки V3, м/мин [9]:

$$V_3 = V_{3ma\tilde{o}\pi}$$

где  $V_{3maб\pi}$  - скорость вращения заготовки по таблице, м/мин,  $V_{3maб\pi}$  = 21 м/мин;

- скорость вращения шлифовального круга [9]:

$$V_{\kappa p} = \frac{\pi \cdot d_{\kappa p} \cdot n_{\kappa p}}{1000 \cdot 60},\tag{2.16}$$

где  $d_{\kappa p}$  - диаметр шлифовального круга, равен 400 мм;

 $n_{\kappa p}$  - частота вращения круга, равна 1400 об/мин по паспорту станка.

$$V_{KP} = \frac{3,14 \cdot 400 \cdot 1400}{1000 \cdot 60} = 30 \,\text{M/c};$$

- частота вращения заготовки [5]:

$$n_3 = \frac{1000 \cdot V_3}{\pi \cdot D} = \frac{1000 \cdot 21}{3,14 \cdot 60} = 109 \, \frac{000}{100} = 109 \, \frac{000}{100} = 1000 \, \frac{000}{100$$

Здесь D – диаметр обработки, D = 60 мм.

Уточняя полученное значение по паспорту станка, окончательно примем  $n_3 = 110 \frac{o \delta}{Muh}$ .

Глубина шлифования t, мм, - слой металла, снимаемый периферией круга в результате радиальной подачи  $S_p$ . При чистовом шлифовании примем припуск на шлифование:  $t=0.33\,$  мм.

Радиальную подачу определим по [9]:

Для шлифования детали диаметром до 60 мм с продольной подачей 70 мм/об детали при скорости вращения детали до 26 м/мин радиальная подача  $S_p = 0{,}005$  мм/ход.

Эффективная мощность, кВт [9]:

$$N = C_N V_{\pi}^{\mathrm{r}} t^x S^{\mathrm{y}} D^q, \qquad (2.17)$$

где D – диаметр обрабатываемой детали, D = 60 мм.

Коэффициенты и показатели степени:  $C_N=2,2;\ r=0,5;\ x=0,5;\ y=0,55;q=-.$ 

Тогда эффективная мощность

$$N = 2.2 \cdot 24^{0.5} \cdot 0.005^{0.55} \cdot 70^{0.55} = 6 \text{ kBt},$$

что меньше паспортной мощности станка (6 кВт < 22 кВт). Из этого следует, что выбранное оборудование можно эксплуатировать на данных режимах резания.

В нашем случае следует рассчитать нормы времени на операциях: 005 фрезерно-центровальной, 010 токарной, 050 круглошлифовальной.

Рассчитаем штучное калькуляционное время  $T_{\text{шт-к}}$  на выполнение операции фрезерно-центровальной 005.

$$T_{um-\kappa} = \frac{T_{n.s.}}{n_s} + T_o + T_{ec} + T_{o6cn} + T_{omo},$$
 (2.18)

где То- основное время на переходе;

Твс- вспомогательное время на переходе;

 $T_{oбci}$  - время технического и организационного обслуживания;

 $T_{om\partial}$ .- время отдыха.

Основное время равно:

$$T_o = \frac{L_{px}}{S_M},\tag{2.19}$$

где  $L_{px}$ -величина перемещения инструмента в направлении подачи, мм;  $S_{M^-}$  скорость подачи в мм/мин,

$$L_{px} = L_{pe3} + y = L_{pe3} + y_{no\partial e} + y_{epe3},$$
 (2.20)

где  $L_{pe3}$ - длина резания. мм;

уподв- длина подвода, мм;

уврез- длина врезания, мм;

$$S_{M}=S_{Z}\cdot z\cdot n, \qquad (2.21)$$

где  $S_Z$  – подача инструмента, мм/зуб;

z – число зубьев фрезы;

n – частота вращения шпинделя, об/мин.

Вспомогательное время равно:

$$T_{eci} = T_{yci} + T_{3oi} + T_{yni} + T_{u3i},$$

где  $T_{yci}$ - время на установку заготовки в приспособлении,  $T_{yi}$ =0,15 мин;  $T_{3oi}$ - время на закрепление и открепление заготовки в приспособлении,  $\tau_{3oi}$ =0,15 мин;

 $T_{yni}$ - время на управление станком,  $T_{yni}$ =0,03мин;

 $T_{\rm изi}$ - время на измерение заготовки,  $\tau_{\rm изi}$ =0,17 мин.

Рассчитаем нормы времени:

$$T_{um-\kappa} = \frac{T_{n3}}{n} + T_{um};$$
 
$$T_o = \frac{Lpx}{S_{MUH}} + \frac{Lpe_3 + y_{node} + y_{ep}}{SZ \cdot Z \cdot n} = \frac{5+3}{0,15 \cdot 1600} + \frac{60+7}{0,15 \cdot 10 \cdot 650} = 0,1 \text{мин}.$$

 $S_Z$ =0.15 мм/зуб, z=10,  $n_1$ =650об/мин,

 $L_{\text{pe}_3}=60 \text{ MM}, y_{\text{вp}}+y_{\text{подв}}+y_{\text{п}}=7 \text{ MM}.$ 

$$T_{\text{вс1}} = T_{\text{ус1}} + T_{\text{301}} + T_{\text{уп1}} + T_{\text{из1}} = 1,85(0,1+0,1+0,035+0,12) = 0,66$$
 мин;

$$T_{um} = 20/35 + 0.1 + 0.66 = 1.33$$
мин.

Рассчитаем штучное время на выполнение операции **010** токарной по формуле (2.18). Данная операция выполняется в два перехода: точение шейки 6 и подрезание торца 3, точение шейки 7 и подрезание торца 2. Рассчитаем время на каждый переход.

Переход 1.

$$L_{px1} = L_{pe31} + y = L_{pe31} + y_{no\partial e1} + y_{epe31}$$
.  
 $L_{pe31} = 820 \text{ MM}, y_{\text{подв}1} + y_{\text{вре3}1} = 7 \text{ MM}.$ 

$$L_{\text{DX}1} = 820 + 7 = 827 \text{ MM}.$$

$$T_{o1} = \frac{L_{px}}{S_{MHH}} = \frac{827}{0.5 \cdot 630} = 2,67 \text{ мин} .$$

Вспомогательное время равно:

$$T_{\text{Bc}1} = T_{\text{yc}1} + T_{\text{301}} + T_{\text{y}\pi 1} + T_{\text{и31}} + T_{\text{от}}$$
 ,

где  $T_{ycl}$ - время на установку заготовки в приспособлении,  $\tau_{yl}$ =0,15 мин;  $T_{3ol}$ - время на закрепление и открепление заготовки в приспособлении,  $T_{3ol}$ =0,15 мин;

 $T_{yn1}$ - время на управление станком,  $\tau_{yn1}$ =0,04 мин;

 $T_{\text{из1}}$ - время на измерение заготовки,  $\tau_{\text{изi}}$ =0,25 мин;

 $T_{\text{от1}}$ - время на отвод инструмента,  $\tau_{\text{от1}}$ =0,15 мин;

$$T_{\text{вс1}} = (0,15+0,15+0,04+0,25+0,15)1,85=1,4$$
 мин;

#### Переход 2.

$$L_{px2} = L_{pe32} + y = L_{pe32} + y_{no\partial e2} + y_{epe32}$$

$$L_{\text{рез2}} = 100$$
 мм,  $y_{\text{подв2}} + y_{\text{врез2}} = 7$  мм

$$L_{px2} = 100 + 7 = 107 \text{ mm}$$

$$T_{o2} = \frac{L_{px}}{S_{MUH}} = \frac{107}{0.5 \cdot 630} = 0.34$$
.

Вспомогательное время равно:

$$T_{\text{BC}1} = T_{301} + T_{y\pi 1} + T_{u31} + T_{o\tau}$$
,

где  $T_{301}$ - время на закрепление и открепление заготовки в приспособлении,  $T_{301}$ =0,1 мин;

 $T_{y\pi 1}$ - время на управление станком,  $T_{y\pi 1}$ =0,035мин;

 $T_{u31}$ - время на измерение заготовки,  $T_{u3i}$ =0,12 мин.

 $T_{\text{от}1}$ - время на отвод инструмента,  $T_{\text{от}1}$ =0,05 мин.

$$T_{BC1}=1,85(0,1+0,035+0,12+0,05)=0,56$$
 мин.

Общее штучно-калькуляционное время равно

$$T_{\text{иит-K}} = T_{\text{пз}}/n + T_{\text{o}1} + T_{\text{o}2} + T_{\text{всп}1} + T_{\text{всп}2} 1 + T_{\text{обсл}} 5 + T_{\text{отд}=}$$

$$= 15/35 + 2,67 + 0,34 + 1,4 + 0,56 + 1,23 + 0,41 = 6,7 \text{ мин.}$$

Для чистовой токарной 015 операции итоговая формула с учетом обработки резьбы за 5 проходов

$$T_{\text{IIIT-K}} = 15/35 + 4,33 + 2,24 + 0,7 = 7,6$$
 мин.

Рассчитаем нормы времени на операции 050 шлифовальной.

Основное время - время непосредственно на обработку, определяется исходя из схемы обработки [3]:

$$T_0 = l \cdot i / 0.95 S_M$$

где l - величина перемещения круга в направлении подачи; i — число проходов;

$$T_o = 820 \cdot 40 / 0.95 \cdot 40 \cdot 250 = 3.45$$
 мин.

Штучное время - время на выполнение перехода, определяется суммированием основного и вспомогательного времени.

Вспомогательное время - время на установку и снятие заготовки, управление станком, подвод и отвод режущего инструмента, контроль

размеров, определяется по справочным нормативам [21] или экспериментально.

В общем случае для шлифовальной операции штучное время определим по формуле [21]:

$$T_{\text{IIIT}} = T_{\text{o}} \cdot \varphi$$

где коэффициент ф для среднесерийного производства равен 2.

$$T_{\text{шт}} = 3,45 \cdot 2 = 6,9$$
 мин.

Найденные значения режима резания заносим в операционную карту.

В приложении представлены операционные карты на три разнородные операции: фрезерно-центровальную, токарную, шлифовальную, фрезерную, а также маршрутная карта на весь технологический процесс.

Таблица 2.9 - Штучное время

	Операция	То	Тпз.	Тштк.
1	2		4	5
000	Заготовительная			
005	Фрезерно-центровальная	0,1	20	1,33
010	Токарная	3,01	15	6,7
015	Токарная	3,4	15	7,6
020	Термообработка			
025	Фрезерная	4,0	20	6,6
030	Фрезерная	32,7	20	35,3
035	Термообработка			
040	Центрошлифовальная	0,3	15	2,1
045	Торцекруглошлиф.	0,3	20	0,7
050	Круглошлифовальная	3,5	20	6,9
055	Зубошлифовальная	1,7	20	3,4

# 3. СОВЕРШЕНСТВОВАНИЯ ОПЕРАЦИЙ С ПОМОЩЬЮ ПАТЕНТНЫХ ИССЛЕДОВАНИЙ

Проведем обзор устройств для многорезцовой токарной обработки. Рубрика МПК для группы приспособлений «Многорезцовые головки» либо «Устройство для токарной обработки» B23B25/06; B23B29/32.

Целью изобретения является повышение точности обработки за счет синхронизации перемещения ползунов с резцами.

Многорезцовая головка состоит из корпуса 1 с радиальными направляющими 2, в которых размещены ползуны 5 с резцами 4, опирающиеся на двуплечие рычаги 5, связанные свободно с планетарным редуктором 6 через кулачок 7. Корпус и планетарный редуктор посажены на шпиндель и вращаются с одинаковой скоростью. При проточке цилиндрической поверхности оправки усилие резания передается через резцы 4, ползуны 5 двуплечие рычаги 5 на кулачок 7.

При выключении тормоза 10 ведущего венца планетарного редуктора скорости ведомого и ведущего венцов, а также кулачка с корпусом головки сравниваются. Перемещение ползунов с резцами прекращается [25]

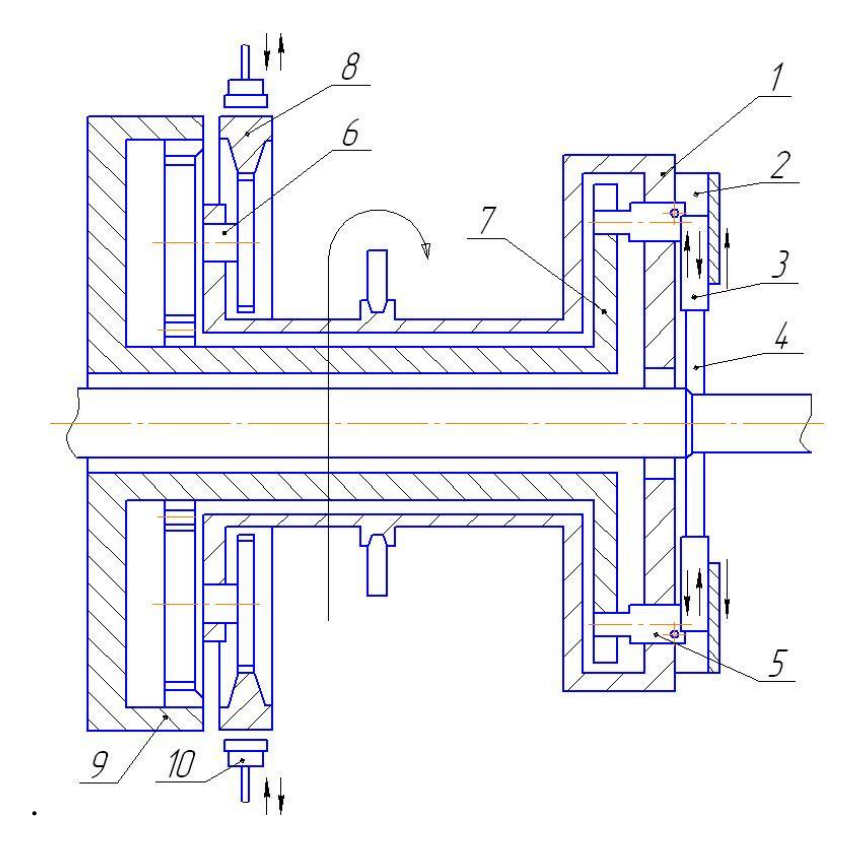


Рис.3.1 Эскиз к а.с. СССР №639650

Цель использования следующей многорезцовой головки — обеспечить равномерный съем припуска и увеличить срок службы инструмента.

Корпус головки 1 закрепляется на шпиндель станка. Во время точения он вращается по направлению, показанному стрелкой А. В корпусе головки 1 размещаются рычаги 2, которые связанны со штоками 3 силовых гидроцилиндров 4 и вращающиеся на осях 5. Резцы 6 закрепляются на поводках 7 в двух поводковых группах. Поводки 8 установливаются в корпус 1 с возможностью поворота. Поводки 7 связаны шарнирно с рычагами 2. Оси 5 рычагов 2 соединены самоустанавливающимся элементом 9. Канал 10 соединяется полость 11 гидроцилиндра 4 с системой подачи рабочей среды. Канал 12 соединяет полость 13 гидроцилиндра 4 с внешней средой.

При точении заготовка 14 базируется в приспособлении и перемещается вдоль оси вращения многорезцовой головки со скоростью подачи. Давление подается по каналу 10 в полость 11 гидроцилиндра 4. Шток 3 поворачивает рычаг 2 на оси 5. Соответственно поводок 7 и резец 6 перемещаются к оси головки пока не установится заданная глубина резания.

При ней сила на поршне со штоком уравновешивается силами трения, силами инерции и силой резания. Перемещения резцов из-за отклонений размеров диаметров заготовок происходят путем перемещения поршней и штоков. Перемещения резцов из-за смещения профиля заготовки происходят за счет смещений элемента 9 и осей 5 [26].

Изобретение относится к обработке металлов резанием и может быть использовано на токарных и других станках для продольного и фасонного точения. Головка содержит корпус, включающий фланцы 1,2 и кожух 3. Резцедержатели 4 и инерционные грузы 6 установлены на валах 5, расположенных параллельно оси корпуса. Инерционные грузы6 имеют Собразную форму и стянуты по участкам цилиндрических поверхностей плоским резиновым кольцом 19. На корпусе против каждого резцедержателя закреплены кронштейны с регулируемыми упорами для ограничения поворота резцедержателей. Валы 5 могут быть соединены между собой посредством зубчатых колес 10 для повышения надежности работы головки. В процессе вращения головки валы 5 под действием инерционных грузов6 поворачиваются, вместе с ними и резцедержатели, которые производят обработку [27].

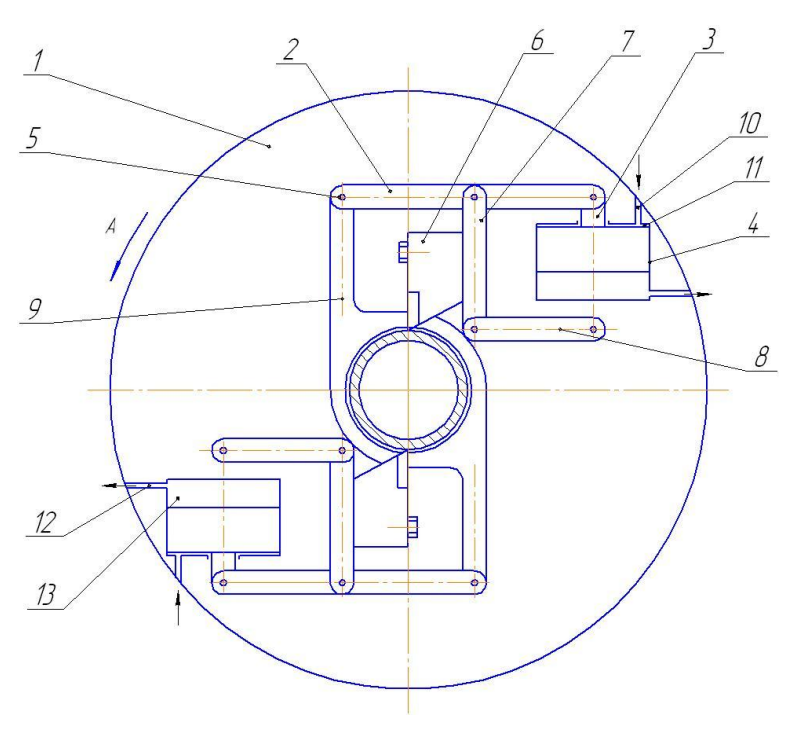


Рис.3.2 Эскиз к а.с. №667335

Следующее устройство предназначено для уменьшения вибраций резцов за счет уменьшения изгибных колебаний валов резцодержателей.

Использование: в машиностроении для обработки металлов на токарных и др. станках для продольного и фасонного точения. Сущность изобретения: головка состоит из корпуса, включающего соосные фланцы 1,2 и ограничительный кожух 3, которые жестко соединены между собой, резцедержателей 4, закрепленных на концах валов5, которые установлены в соосных отверстиях фланцев 1 и 2, выполненных равномерно по окружности с центром на оси вращения, параллельно оси корпуса. На тех же валах 5 в пространстве между фланцами 1 и 2 жестко закреплены инерционные грузы 6, выполненные в виде одинаковых тел произвольной формы, центр тяжести которых расположен как можно дальше от места их установки на валах 5. Каждый инерционный груз снабжен закрепленным на его боковой поверхности пальцем 7, который введен в сквозной паз кольцевого поводка 8, установленного соосно корпусу с возможностью поворота вокруг его оси. При этом каждый инерционный груз 6 связан с корпусом возвратной пружиной 9. Один конец пружины 9 надет на штифт 10, закрепленный на грузе, а другой надет на крюк 11, закрепленный на втулке 12, жестко установленной в корпусе вдоль оси его. При вращении головки под действием центробежных сил инерционные грузы6 вместе с валами 5 и резцедержателями 4 за счет пальцев 7, закрепленных на боковой поверхности инерционных грузовб и расположенных в пазах кольцевого поводка8, выполненных для всех инерционных грузов 6 одинаковой формы, синхронно поворачиваются, перемещая резцы 16, срезающие с заготовки одинаковый припуск [28].

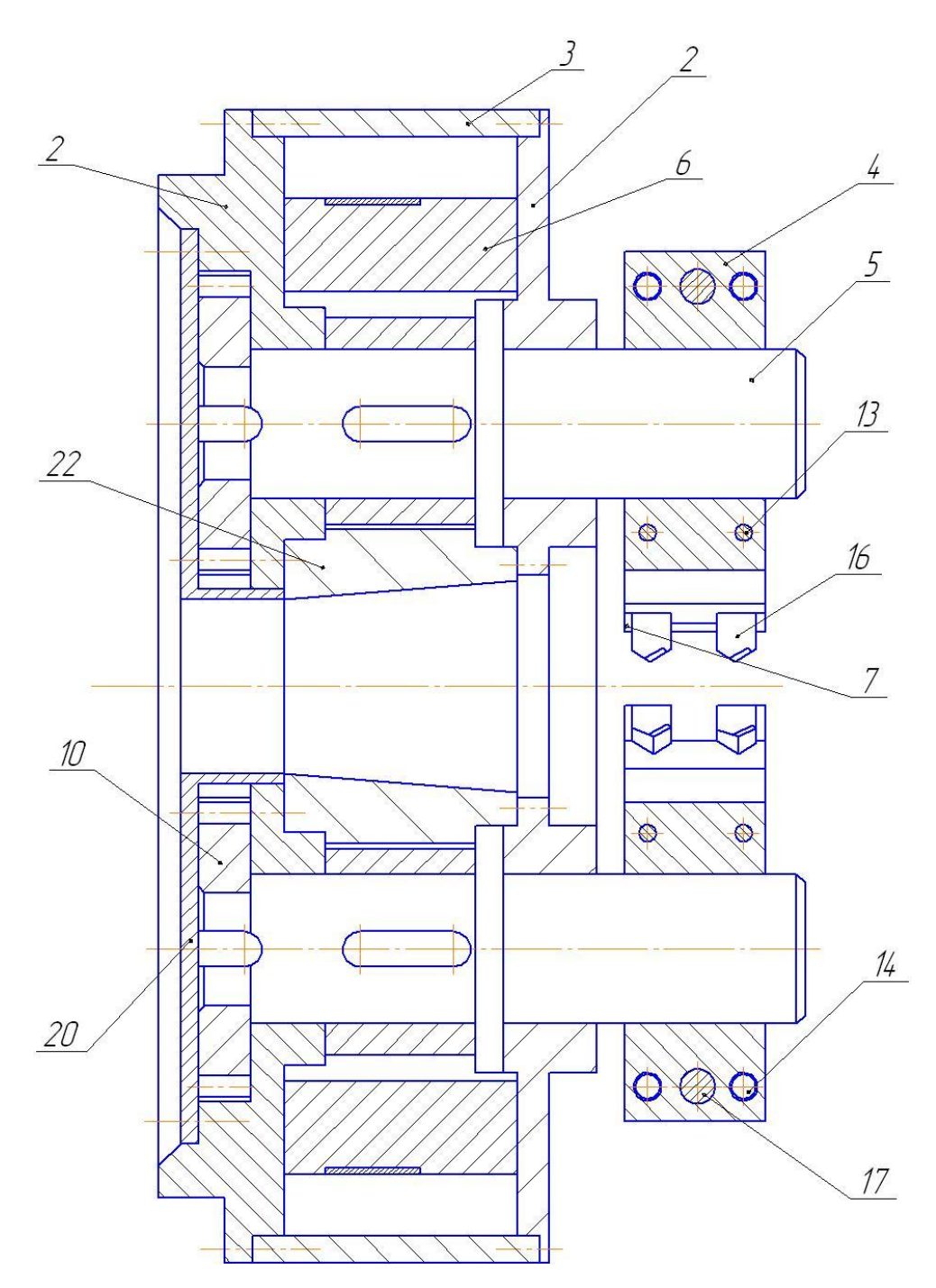


Рис.3.3 Эскиз к а.с. СССР №1546210

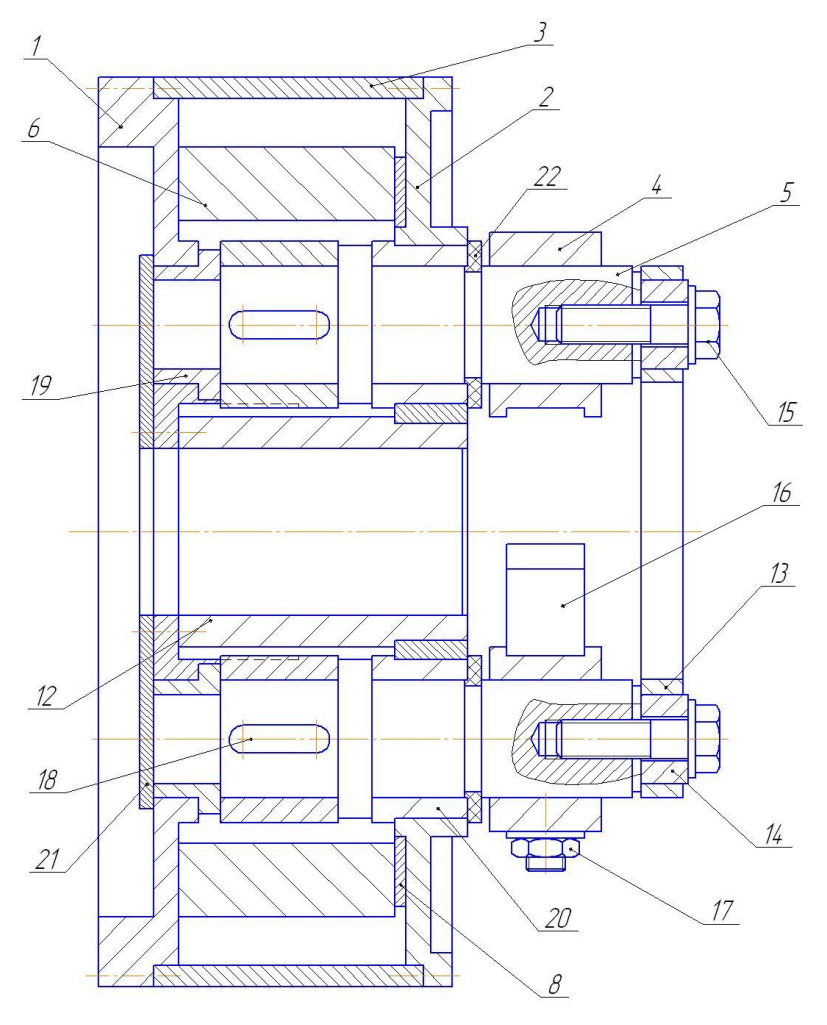


Рис. 3.4. Эскиз к патенту РФ №2069606

Следующее устройство относится к технологическому оснащению машиностроения И используется при обработке нежестких Устройство многорезцовой обработки имеет установленные направляющие 1 станка салазки 2. В патрон шпинделя 3 станка установлена заготовка 4. На салазки 2 симметрично относительно осей шпинделя 3 и заготовки 4 устанавливаются поперечные направляющие 5 и 6. На них размещаются резцедержатель 7 и 8 вместе с резцами 9 и 10. Сами резцедержатели 7 и 8 соединяются между собой при помощи винта 11.

Заготовка 4 устанавливается в патрон станка 3. Маховиком 12 устанавливаются вершины у резцов 9 и 10 относительно оси заготовки 4 симметрично. Салазкам 2 сообщается движение продольной подачи и проводят процесс обработки. Управляя поворотом резца относительно оси, проходящей через его вершину, можно выровнять силы резания Р за один

оборот. Причем и переменную и постоянную составляющие. А это ведет к минимальной деформации резцов и стабилизирует оси заготовки [29]

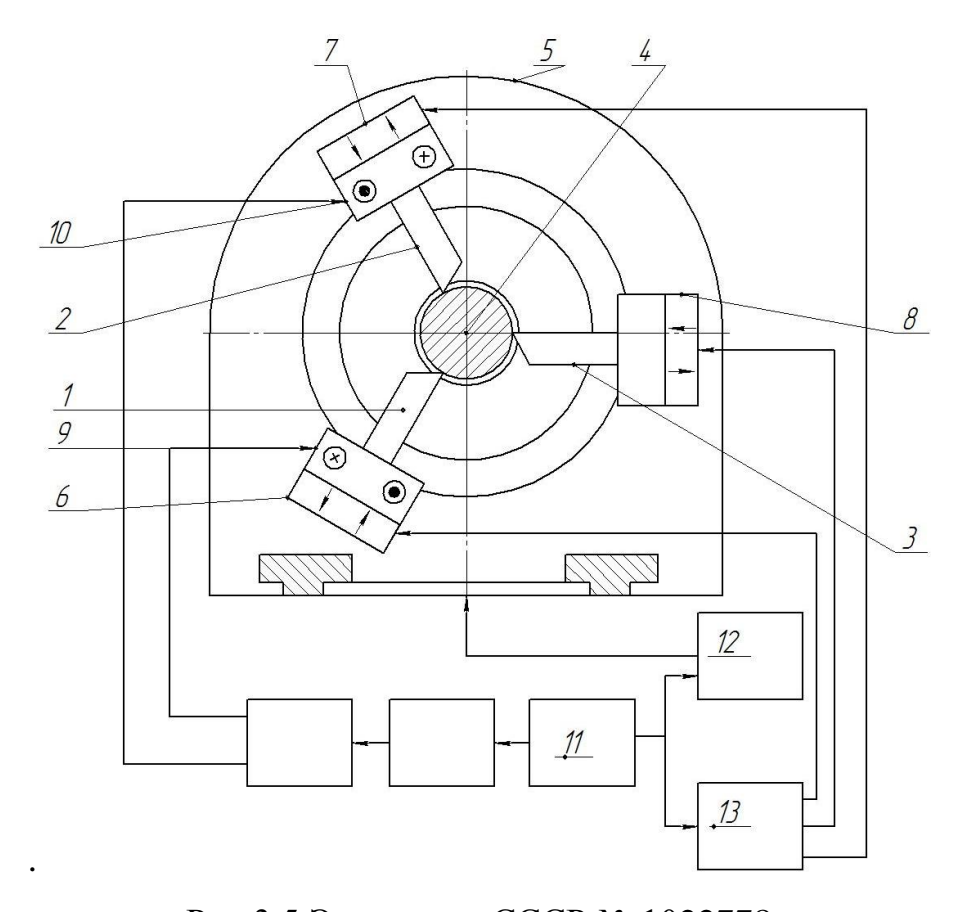


Рис.3.5 Эскиз к а.с.СССР № 1022778

Повысить качество обработанной поверхности, точность и производительность можно за счет способа многорезцового точения. Вершины резцов 1,2,3 располагаются в одной плоскости перпендикулярной оси обрабатываемой заготовки 4. Не формообразующие резцы 2 и 3 настраиваются на глубину резания, которая меньше глубины резания формообразующим резцом 1. Разница соизмерима с высотой шероховатости поверхности после формообразующего резца.

Суппорт 5 сообщает продольную подачу. Формообразующий резец 1 закрепляется на радиальном суппорте 6. Не формообразующие резцы 2 и 3 закрепляются на радиальных суппортах 7 и 8. Устройства подач 9 и 10 осуществляют корректирующие смещения в продольном направлении. В результате смещения не формообразующих резцов 2 и 3 в продольном направлении идет непрерывное перераспределение всего припуска на всех

трех резцах. Это ведет к само уравновешиванию сил резания, уменьшается прогиб детали.

Токарный станок содержит поперечные салазки 2, на которые устанавливаются симметрично относительно оси шпинделя суппорты с резцовыми салазками 6 и 7. На них устанавливаются резцедержатели 13 и 14 с резцами. Сами резцедержатели 13 и 14 устанавливаются с возможностью смещения относительно продольных направляющих 11 и 12 резцовых салазок. Они соединяются винтом 8-9. Суппорты имеют промежуточные салазки, расположенные между резцовыми и поперечными салазками станка. Резцедержатели 13 и 14 выполнены подвижными относительно Они салазок. соединяются cпоследними через промежуточные гидроцилиндры 19 и 20. А бесштоковые полости самих цилиндров соединяются между собой [30].

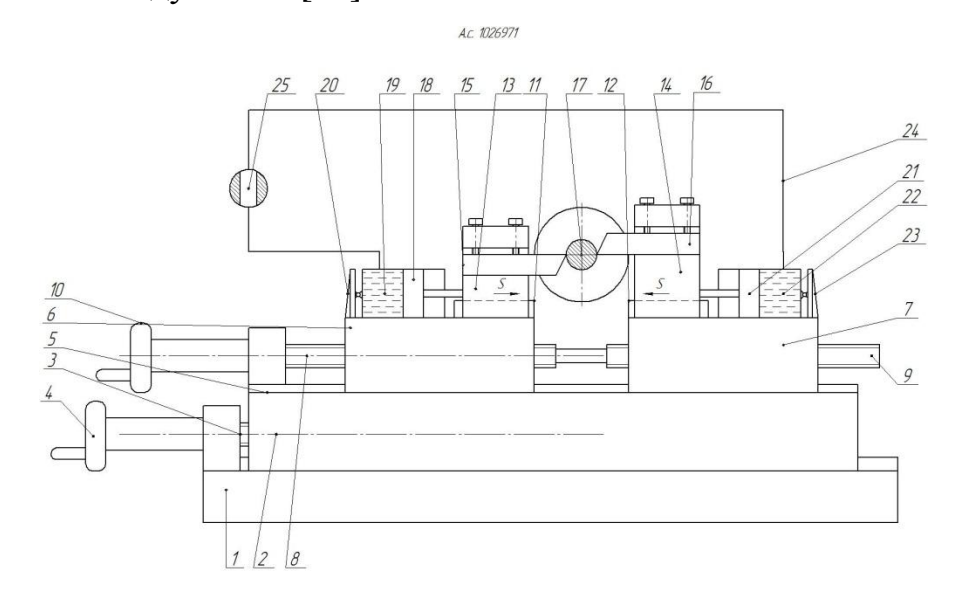


Рис.3.6 Эскиз к а.с.СССР №1026971

#### 4. ПРОЕКТИРОВАНИЕ ПРИСПОСОБЛЕНИЯ

#### 4.1 Сбор данных

Вид и материал заготовки: штамповка, сталь 40XH2MA ГОСТ1050-74  $\sigma_{B}$ =750 МПа.

Вид обработки — черновое точение на операции 010. Материал и геометрия режущей части резца — резец контурный сборный со сменной трехгранной неперетачиваемой пластиной Т5К10 с геометрией  $\varphi$ =93°;  $\gamma$ =10°;  $\lambda$ =-4°. Режимы резания: глубина резания t=2,6 мм; подача на два резца одновременно S=0,8 мм/об; скорость резания V=63 м/мин. Тип приспособления — двух резцовый суппорт.

Металлорежущий станок – токарно-винторезный станок СА700СФ2К. Силы резания рассчитаны в п. 2.7:

$$P_{z1} = 300 \cdot 2,6 \cdot 0,4^{0.75} \cdot 63^{-0.15} \cdot 1,11 = 300,7H.$$

$$P_{y1} = 243 \cdot 2,6^{0.9} \cdot 0,4^{0.6} \cdot 63^{-0.3} \cdot 1,11 = 105H.$$

$$P_{x1} = 241 \cdot 2,6^{1.05} \cdot 0,4^{0.2} \cdot 63^{-0.4} \cdot 1,11 = 116H.$$

При расчете составляющие Pz и Px складываются, Py – противоположно направлены и поэтому суммарное действие на вал равно нулю.

### 4.2 Расчет усилия на приводе

В процессе обработки заготовки возникают различные силы. С одной стороны действуют составляющие силы резания, которые стремятся отжать резец от заготовки, с другой – сила механизма подачи, препятствующая

этому. При двух резцовой обработке противоположно расположенными резцами сила, действующая на суппортную группу, определяется разностью припуска, снимаемого двумя резцами. Для расширения технологических возможностей по обработке будет учитываться сила, действующая на один резец с коэффициентом запаса, равным 3.

Схема действия силы резания и силы подачи приведена на рис. 4.1.

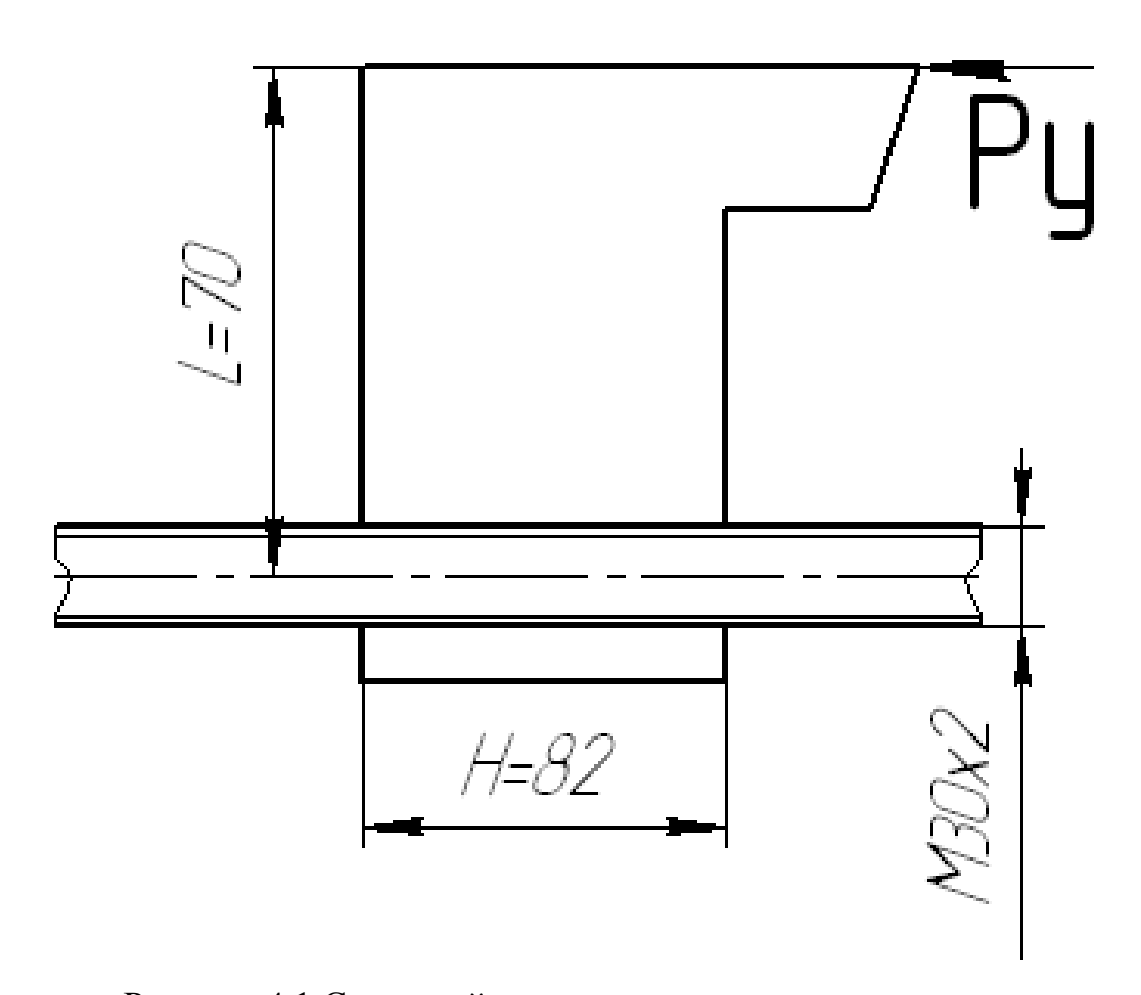


Рисунок 4.1 Схема действия силы резания и силы подачи

Рассчитаем привод подачи, как Г-образный прихват. По [10] сила подачи Q для преодоления силы резания Ру рассчитывается по формуле:

$$Q = K \cdot P_e \left( 1 - \frac{L}{H} f \right), \tag{4.1}$$

где Р<sub>у</sub> – радиальная составляющая силы резания, Н;

L – плечо действия силы резания;

Н – длины направляющей резцедержателя, мм;

f – коэффициент трения направляющей резцедержателя;

К - коэффициент запаса.

После подстановки данных получим

$$Q = P_e \left( 1 - \frac{L}{H} f \right).$$

Для создания усилия необходимо приложить крутящий момент [10]

$$M_{KP} = Q \frac{d}{2} tg \left( \Phi + \varphi_{IIP} \right), \tag{4.2}$$

где d - средний диаметр резьбы, мм;

α - угол подъема витков резьбы;

 $tg\phi_{\it \PiP}$  - приведенный коэффициент трения, который рассчитывается по формуле:

$$tg\varphi_{\Pi P} = \frac{f}{\cos\beta},\tag{4.3}$$

где f – коэффициент трения;

 $\beta$  – половина угла при вершине резьбы (30°).

Для расчетов силу резания для повышения надежности и расширения технологических возможностей установки примем с коэффициентом запаса равным 10. Тогда в расчетах используем значение силы Ру=1000 Н. Тогда

сила Для данных параметров установки крутящий момент, необходимый для создания поперечной подачи равен

$$Q = 2.5 \cdot 1000 \left( 1 - \frac{70}{82} 0.1 \right) = 2282 \text{ H},$$
$$tg\phi_{IIP} = \frac{0.1}{\cos 30} = 0.11^{\circ},$$

$$M_{KP} = 2282 \frac{0.03}{2} tg$$
 **4.**  $3 + 0.11 = 1.5$  Hm.

Далее выбирается шаговый привод по крутящему моменту - 110BYG350A с моментом 8 Hм.

Ход резцедержателей составляет 53 мм. С учетом вылета двух резцов параметры заготовки, обрабатываемой двух резцовым суппортом, составляют максимум 100 мм, минимум 0 мм.

## 4.3 Расчет погрешности установки

Погрешность обработки рассчитывается по схеме на рисунке 4.2.

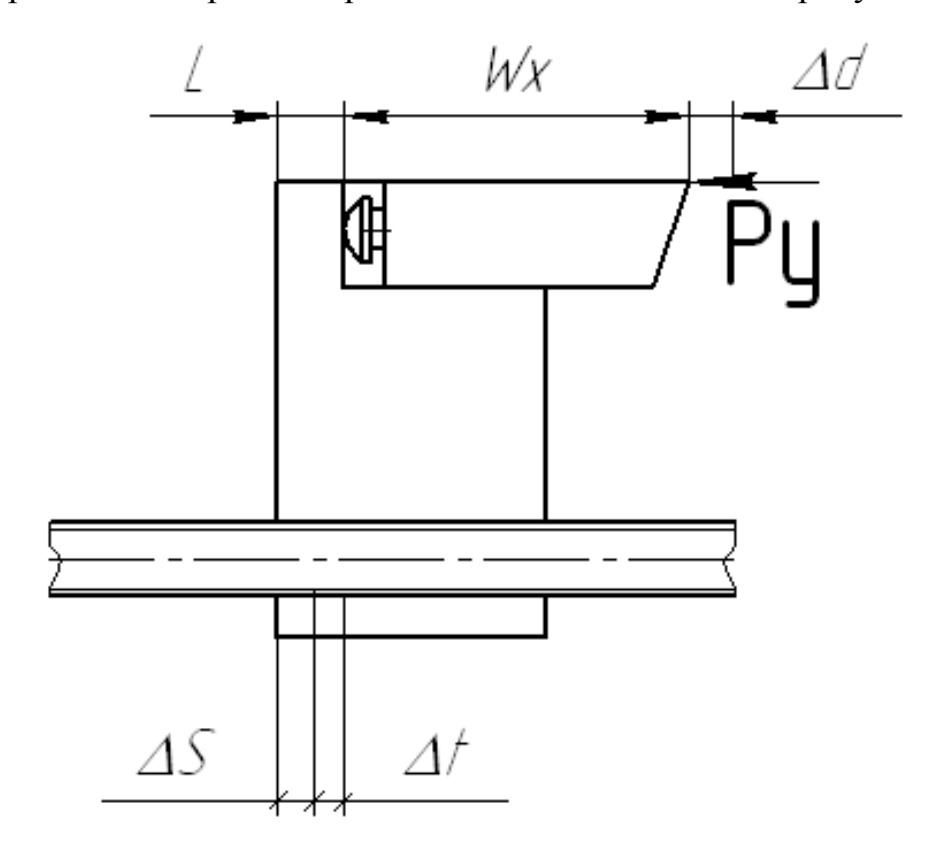


Рисунок 4.2 Схема расчета точности обработки

Погрешность настройки на диаметр определяется по формуле:

$$\Delta d = t \cdot \sqrt{2K_1(\Delta W x)^2 + (\Delta L)^2 + (\Delta S)^2 + (\Delta t)^2} < 1/3Td, \qquad (4.4)$$

где Td – допуск на максимальный обрабатываемый размер, мм;

 $\Delta Wx$  – погрешность настроечного размера, мм;

 $\Delta L$  – погрешность линейного размера мм;

 $\Delta S$  – зазор в резьбовом соединении, мм;

 $\Delta t$  – погрешность шага резьбы, мм;

 $K_1$  — коэффициент относительного рассеивания, погрешностей. Умножается на два, т.к. погрешность удваивается для двух резцов.

Погрешность настройки на диаметр после подстановки:

$$\Delta d = 0.3 \cdot \sqrt{2 \cdot 1/9[(0.002)^2 + (0.01)^2 + (0.01)^2 + (0.005)^2]} = 0.021 < 1/3 \cdot 0.06 \, \mathrm{Mm} \ .$$

Т.е. обработка данным суппортом может вестись вплоть до 9 квалитета.

### 4.4 Описание конструкции приспособления

Токарное приспособление предназначено для двух резцовой обработки маложесткого вала.

Приспособление содержит плиту 1, на которой на торсионе 14, установлена базовая плита 2. В ней в направляющих по свободной посадке установлены резцедержатели 3. Они фиксируются в базовой плите 2 Т-образными болтами 8, 9 через ось 11 эксцентриковыми зажимами 10 при помощи ручки 12.

Резцедержатели 3 перемещаются винтом 4, установленным в подшипниках 20, 29, которые запрессованы в стойках 5 и 6. Базовая плита 2, поворачивается на торсионе 14, который установлен в радиальных подшипниках 25 и на осевом подшипнике 19. Снизу полость под торсион герметизирована крышкой 17. Фиксатор 23 одним концом закрепляется на плите 1 винтом 22, а другим штифт вставляется в базовую плиту 2.

Приспособление работает следующим образом. Настроенные устанавливаются в пазы резцедержателей 3. Далее винтом 4 шаговым двигателем они сводятся на заданный размер. При черновой обработке винт 22 ослабляется и базовая плита освобождается. При врезании резцов, если биение припуска, счет имеется 3a поворота ПЛИТЫ происходит уравновешивание сил резания. Резец, снимающий больший припуск отжимается, подавая противоположный резец на заготовку.

#### 5. ПРОЕКТИРОВАНИЕ РЕЖУЩЕГО ИНСТРУМЕНТА

Цель - спроектировать инструмент для токарной обработки, конструкция которого позволяет снизить динамическое воздействие на режущий клин путем демпфирования колебаний инструмента.

Задачей предлагаемого изменения конструкции резца является снижение динамического воздействия путем демпфирования колебаний, а также уменьшение начального импульса при врезании и отводе резца при обработке материалов с твердыми и неметаллическими включениями.

Сущность технического решения поясняется чертежом, где представлен рассматриваемый резец (рисунок 5.1).

Работа предлагаемого режущего инструмента поясняется чертежом. Режущий инструмент, в направляющих которого размещен режущий элемент, упругий элемент и элемент крепления, при этом он снабжен дополнительным упругим элементом, режущий элемент 2 выполнен с передней частью в виде головки, средней частью и задней частью в виде державки, направляющие 8 выполнены цилиндрическими и расположены в корпусе 1 перпендикулярно режущему элементу 2, на котором для сопряжения с ними выполнены установочные пазы, один из которых размещен под передней частью, а другой - над его задней частью, при этом упругие элементы 10,11 расположены противоположно установочным пазам, а элемент крепления выполнен в виде прижимных планок и резьбового 12, сопряжения осуществленного через дополнительное отверстие, выполненное в средней части режущего элемента.

Работает инструмент следующим образом. На суппорт токарного станка монтируется инструмент, в корпусе 1 которого смонтированы цилиндрические направляющие 8, расположенные в корпусе перпендикулярно режущему элементу 2, с передней частью в виде головки,

средней частью и задней частью в виде державки, с выполненными установочными пазами, один из которых выполнен под передней частью (головкой), а другой над его задней частью (державкой), при этом каждому пазу соответствуют напротив расположенные упругие элементы 10,11. Режущий элемент 2 закрепляется посредством прижимных планок и резьбового сопряжения 12, осуществленного через дополнительное отверстие в средней его части, регулировку усилия закрепления при изменении материала, режимов резания осуществляют, например, динамометрическим ключом.

Конструкция инструмента позволяет снизить вибрации в зоне резания за счет демпфирования колебаний, возникающих в системе "станок-приспособление-инструмент-деталь" особенно в момент врезания резца "в материал и его отводе от обрабатываемой поверхности. Использование режущего инструмента дает наибольший эффект по снижению вибраций в зоне резания при обработке вязких сталей и сплавов, а также материалов с твердыми и неметаллическими включениями. При этом в 1,5-2 раза уменьшается шероховатость обрабатываемой поверхности детали, в 2-2,6 раза повышается стойкость режущей части инструмента без снижения скорости резания и подачи.

Использование изобретения упрощает образование стружки, способствует стабилизации сил резания и повышению стойкости инструмента.

На токарной операции применятся сборные резцы с механическим креплением трехгранных пластин из твердого сплава, предназначенных для обработки заготовок из стали. В корпус резца запрессован штифт. На штифт свободно надевают многогранную пластину из твердого сплава, которую закрепляют между штифтом и задней опорной стенкой корпуса с помощью клина и винта. Многогранные пластины повторно затачивают. После изнашиваний одной режущей кромки пластину поворачивают и в работу

вступает следующая режущая кромка. После изнашивания всех режущих кромок пластину заменяют новой.

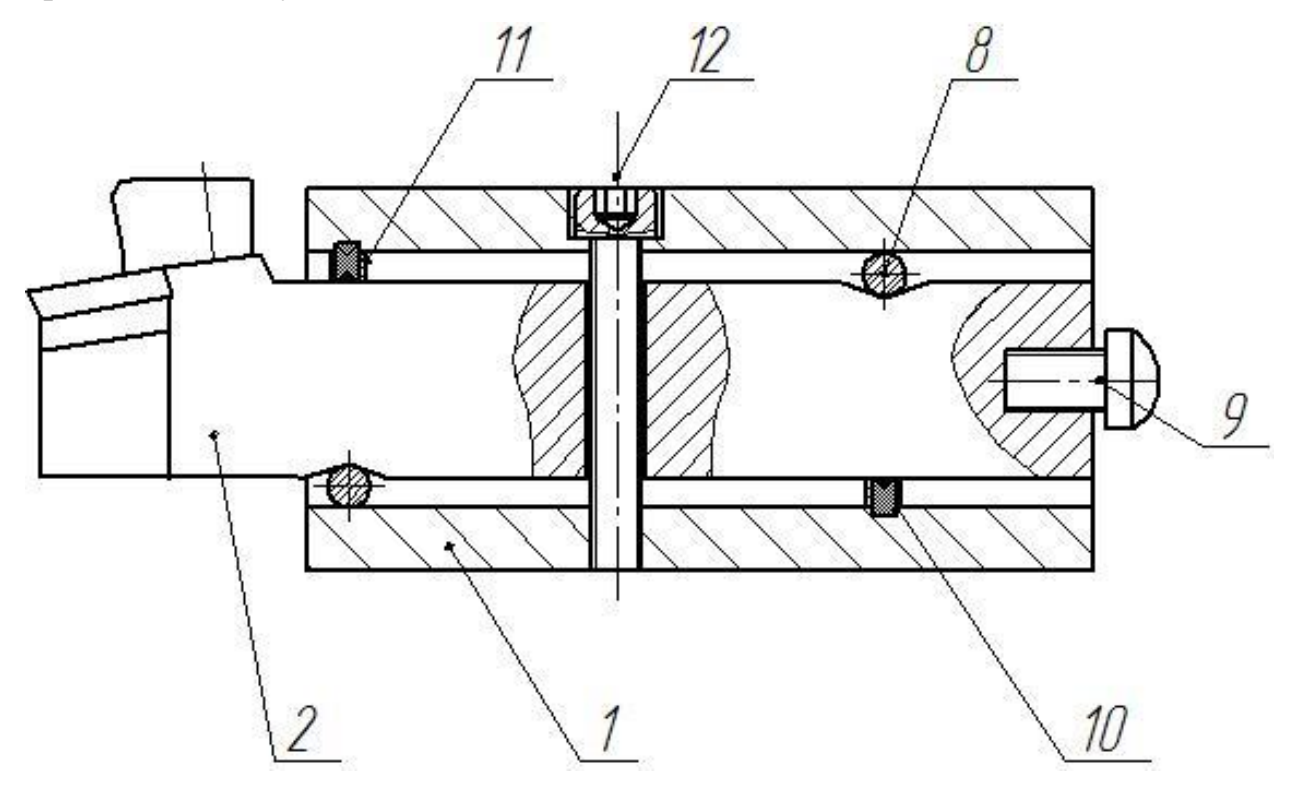


Рис.5.1. Схема резца

Углы φ у резцов с многогранными пластинами такие же, как у составных (цельных) напайных резцов с той же рабочей высотой, угол в плане 90°. Необходимых задних углов α достигают путем установки пластины под соответствующим отрицательным углом γ. Для обеспечения положительных значений переднего угла γ, а также для завивания и дробления стальной стружки вдоль каждой из режущих кромок предусмотрены выкружки, формируемые при прессовании многогранных пластин (форма I).

Угол  $\gamma$ , образованный выкружкой, равен 20 или 25° в зависимости от размера пластины, что обеспечивает при закреплении пластины на державке под углом  $\gamma$ =10°. Радиусы вершин выбирают минимальными (r =0,6 мм). Сочетание малого радиуса вершины резца и большого переднего угла резца значительно уменьшает отжим заготовки силой Ру и позволяет использовать эти резцы при малой жесткости станка и заготовки.

Для изготовления подложки рекомендуется твердые сплавы ВК8, для повышения долговечности корпуса резцы со стороны задней поверхности необходимо оснащать опорными пластинами (подкладками) из твердого сплава ВК8. Габаритные и конструктивные размеры сборных токарных резцов в механическим креплением многогранных твердосплавных пластин выбирают в зависимости от назначения и формы пластины по ГОСТ20872-80, а технические требования к ним регламентирует ГОСТ26613-85.

Сконструируем сборный токарный проходной правый резец с механическим креплением многогранной пластины из твердого сплава для обтачивания вала из стали 40 XH2MA с  $\sigma_{\text{в}} = 750 \text{ MПа}$ . Главный угол в плане  $\phi$ =90°. Обработку производят на токарном станке CA700C $\Phi$ 2K. Глубина резания t=2,6 мм; подача на оборот S=0,8 мм/об; скорость главного движения резания V=63 м/мин.

Пользуясь табл. 31 [8] находим, что для станка СА700СФ2К при площади сечения срезаемого слоя f=1.04 мм<sup>2</sup> резец должен иметь рабочую высоту H=25 мм и диаметр описанной окружности пластины D=12,7 мм. Принимаем для резца Н=32 мм, а для переходной державки 25 мм. Основные по ГОСТ 26611—85; рабочая высота резца размеры принимаем резца H=32 мм, ширина корпуса резца B=25 мм; длина резца L=170 мм. Конструктивные размеры резца указывают на рабочем чертеже корпуса резца. Выбираем материал резца для корпуса - сталь 40Х (твердость 42...46.5 HRC, оксидировать); для пластины трехгранной формы- твердый сплав Т5К10, форма. І по ГОСТ 19063-80; для винта -сталь 45 (головку винта термообработать до 32—37HRC). Технические требования резец на выбираем по ГОСТ 26613—85\*.

Дополнительно державка резца вставляется в демпфирующую державку по описанию. Технический результат заключается в том, что режущий инструмент, в направляющих которого размещен режущий элемент, упругий элемент и элемент крепления, отличается тем, что он снабжен

дополнительным упругим элементом, режущий элемент выполнен с передней частью в виде головки, средней частью и задней частью в виде державки, направляющие выполнены цилиндрическими и расположены в корпусе перпендикулярно режущему элементу, на котором для сопряжения с ними выполнены установочные пазы, один из которых размещен под передней частью, а другой - над его задней частью, при этом упругие элементы расположены противоположно установочным пазам, а элемент крепления выполнен в виде прижимных планок и резьбового сопряжения, осуществленного через дополнительное отверстие, выполненное в средней части режущего элемента.

### 6. ПРОЕКТИРОВАНИЕ СРЕДСТВ КОНТРОЛЯ

Задача раздела – спроектировать систему контроля параметров процесса двух резцового точения.

Необходимо определить, что является выходными и входными данными процесса обработки.

Регулировать можно частоту и амплитуду колебаний точения за счет изменения конструктивных параметров, скорости резания и подачи. Контролировать необходимо амплитуду относительных колебаний (АОК) резца и заготовки, как определяющих геометрию микро и макропрофиля поверхности (отклонения формы), так и статический отжим (усредненный по нескольким оборотам), как определяющим точность расположения и размеров.

Приспособление состоит из индикатора 1, который в кронштейне 2 зафиксирован винтом 3. Кронштейн 2 винтом 4 закреплен на оси 5, которая ввинчена в плиту 6, установленную на ножки 7. На плите 6 прикреплена плита 8 на оси 9 которой качается щуп 11. В корпус 14 установлена пиноль 15, внутри которой находится цанга 16, по скосам которой перемещаются кулачки 17. Пиноль 15 опирается через шарики 18 о корпус 14. Крышка 19 закреплена винтами 20 к корпусу 14. В центре крышки 19 винт 21 поджимает пружину 22 к пинольу 16. Пиноль 15 поджимается к корпусу 14 пружиной 27, поджатой крышкой 26. На пиноль на оси 28 поворачивается эксцентриковая рукоять 29.

Приспособление работает следующим образом. Деталь надевается на кулачковый механизм. Рукояткой 29 перемещают пиноль 16, который приводит к разжиму кулачков 17. После этого щупом 11 обкатывают измеряемую поверхность, контролируя несоосность индикатором 1. Пружина 10 поджимает измерительный ролик 13 к поверхности.

Чертеж приспособления представлен на листе.

# 7. БЕЗОПАСНОСТЬ И ЭКОЛОГИЧНОСТЬ ТЕХНИЧЕСКОГО ОБЪЕКТА

Таблица 7.1-Технологический паспорт объекта

<b>№</b> ОП	Наименовани е операции	Вид выполняем ых работ	Наимено -вание должнос ти работник а	Оборудование	Материалы вещества
1	2	3	4	5	6
000	Заготовитель ная	Штамповка	Штампов щик	ГКШП	Масло
005	Фрезерно- центровальна я	Фрезерован ие сверление	Оператор станков с ЧПУ	Фрезерно- центровальный полуавтомат MP73M	Фреза торцовая Сверло центровочное СОЖ
010 - 015	Токарная	Точение черновое, чистовое	Оператор станков с ЧПУ	Токарный станок СА700СФ2К	Резцы, СОЖ
020	Фрезерная	Фрезерован ие	Фрезеров щик	Вертикально фрезерный станок 6Р13	Фреза цилиндрическая
025	Фрезерная	Фрезерован ие	Фрезеров щик	Горизонтально фрезерный станок 6Т83Г	Фреза модульная
030	Термообрабо тка	Закалка	Термист	печь	Вода
035	Центрошлиф овальная	Шлифован ие черновое	Шлифов щик	Центрошлифов альный станок ZSM810	Абразивный круг; СОЖ
040	Шлифовальна я	Шлифован ие чистовое	Шлифов щик	Торцекруглошл ифовальный станок 3Б153Т	Абразивный круг; СОЖ
050	Шлифовальна я	Шлифован ие чистовое	Шлифов щик	Круглошлифов альный станок 3M151	Абразивный круг; СОЖ
055	Зубошлифова льная	Щлифован ие зубьев	Шлифов щик	Зубошлифовал ьный станок 3В151А	Абразивный круг; СОЖ

# Продолжение табл. 7.1

1	2	3	4	5	6
060	Резьбошлифо	Щлифован	Шлифов	Резьбошлифова	Абразивный
	вальная	ие резьбы	щик	льный станок	круг;
				5Д822В	СОЖ
065	Моечная	Мойка	Мойщик	Камерная	Моющие
				моечная	средства
				машина	

Таблица 7.2 - Идентификация профессиональных рисков

№ оп.	Наименование	Опасный и вредный	Источник
	операции	производственный фактор	опасного и
			вредного
			производственного
			фактора
1	2	3	4
1	Заготовительная	Высокая температура;	Пресс, оснастка –
		Подвижные механизмы;	пресс-формы.
		высокий уровень вибраций,	
		шума;	
		пыль в рабочей зоне	
2	Фрезерно-	Высокая температура;	Станки; зона
	центровальная,	стружка;	резания, СОЖ;
	токарная.	высокий уровень вибраций,	приспособление,
	фрезерные	шума;	режущий
		токсичные и канцерогенные	инструмент.
		вещества (дихлорэтан, нитрит	
		натрия);	
		пыль в рабочей зоне; опасность	
		поражения электрическим	
		током; Подвижные	
		механизмы;.	
3	Термическая	Высокая температура;	Печь
		токсичные и канцерогенные	индукционная;
		вещества (гексахлорэтан);	заготовка;
		пыль в рабочей зоне;	Ванна
		опасность поражения	охлаждающая.
		электрическим током.	

1	2	3	4
4	Абразивные	Высокая температура;	Станки; зона
	операции	стружка; подвижные	резания, СОЖ;
		механизмы;	приспособление,
		высокий уровень вибраций,	режущий
		шума;	инструмент.
		токсичные и канцерогенные	
		вещества (дихлорэтан, нитрит	
		натрия);	
		пыль в рабочей зоне; опасность	
		поражения электрическим	
		током.	
5	Моечная	Высокая влажность воздуха;	Моечная машина;
		токсичные вещества	испарения
		(поверхностно активные	
		вещества); опасность	
		поражения электрическим	
		током.	

Таблица 7.3 - Методы и средства снижения воздействия опасных и вредных производственных факторов.

<b>№</b>	Опасный и вредный производственный фактор 2	Методы и средства защиты, снижения производственного фактора	Средства индивидуаль ной защиты работника
1	Высокая температура	Система вентиляции воздуха (станки с местным отсосом воздуха панельного типа); система охлаждения оборудования и система подачи и охлаждения СОЖ; ограждения и разметка зоны высокой опасности	Специальная одежда (Костюм вискозно-лавсановый, ботинки кожаные,
2	Стружка	Закрытая зона обработки, подача СОЖ в зону резания	очки защитные)

1	2	3	4
3	Высокий уровень вибраций, шума; пыль в рабочей зоне	защитный экран рабочей зоны оборудования; виброизоляция оборудования;	Беруши
4	Токсичные и канцерогенные вещества (дихлорэтан, нитрит натрия)	Закрытая зона обработки, подача СОЖ в зону резания; Система вентиляции воздуха (станки с местным отсосом воздуха панельного типа)	Респиратор.
5	Высокая влажность воздуха	Система вентиляции	Рукавицы резиновые
6	Опасность поражения электрическим током.	Заземление оборудования	

Таблица 7.4 – Идентификация классов и опасных факторов пожара

№	Участок,	Оборудован	Класс	Опасные	Сопутствующие
	подразд	ие	пожар	факторы пожара	проявления
	еление		a		факторов пожара
1	2	3	4	5	6
1	Участок	Гидравличе	В	Пламя и искры;	вынос (замыкание)
	механич	ский пресс,		тепловой поток	высокого
	еской	фрезерные,			электрического
	обработ	токарный,			напряжения на
	ки	фрезерно-			токопроводящие
	штока	центроваль			части
		ный,			технологических
		шлифоваль			установок
		ный станки			

1	2	3	4	5	6
2	Термическ		В	Пламя и искры;	Осколки, части
	ий участок			тепловой поток	разрушившихся
					зданий,
					сооружений,
					транспортных
					средств,
					технологических
					установок,
					оборудования

Таблица 7.5 – Технические средства обеспечения пожарной безопасности. Первичные средства пожаротушения

Перви	Мобиль	Стациона	Средс	Пожарн	Средств	Пожарн	Пожар
чные	ные	рные	тва	oe	a	ый	ные
средст	средств	установки	пожар	оборудо	индиви	инстру	сигнал
ва	a	системы	ной	вание	дуально	мент	изация
пожар	пожаро	пожароту	автома		й	(механи	, связь
отуше	тушени	шения	тики		защиты	зирован	И
<b>R</b> ИН	Я				И	ный и	опове
					спасени	немеха	щение
					я людей	низиров	•
					при	анный)	
					пожаре		
Возду	Передв	Пенная	Извещ	Гидрант	Респира	Шит	Извещ
шно-	ижные	система	атели	пожарн	тор,	пожарн	атели
пенны	воздуш	пожароту	пожар	ый	специал	ый	пожар
й	но-	шения	ные		ьная	ЩП-Б	ные
огнету	пенные				одежда		ручны
шитель	огнету						e,
ОВП-	шители						светов
8(3) -	ОВП-40						ые и
AB	(3)						звуков
(H,C)							ые
							пожар
							ные
							опове
							щател
							И

Таблица 7.6 - Организационно-технические мероприятия по обеспечению пожарной безопасности

Наименование	Наименование видов	Предъявляемые
технологическ	реализуемых организационных	требования по
ого процесса	(организационно-технических)	обеспечению пожарной
,	мероприятий	безопасности,
	-r - r	реализуемые эффекты
Технологическ	Разработка и внедрение системы	При эксплуатации
ий процесс	управления пожарной	эвакуационных путей и
изготовления	безопасностью.	выходов должно быть
штока	Общее руководство и контроль	обеспечено соблюдение
mroku	за состоянием пожарной	проектных решений и
	безопасности на предприятии.	требований нормативных
	Обеспечение пожарной	документов по пожарной
	безопасности при проведении	безопасности.
	технологических процессов.	Двери на путях
	Установка и контроль за	эвакуации должны
	состоянием средств контроля,	открываться свободно и
	оповещения и пожаротушения.	по направлению выхода
	Организация разработки и	из здания.
	обеспечение выделения	Запоры на дверях
	финансовых средств на	эвакуационных выходов
		должны обеспечивать
	реализацию мероприятий по обеспечению пожарной	
	безопасности.	людям, находящимся внутри здания,
	Обучение по пожарной	возможность свободного
	безопасности специалистов,	
	служащих и рабочих.	их открывания изнутри без ключа.
	Обеспечение	n
	_	2 0
		· · · · · · · · · · · · · · · · · · ·
	предприятии. Составление плана эвакуации	1
		времени отсутствует
	при пожаре.	дежурный персонал,
	Разработка документов по	должны быть
	пожарной безопасности.	обесточены, за
		исключением дежурного
		освещения, установок
		пожаротушения и
		противопожарного
		водоснабжения,
		пожарной и охранно -
		пожарной сигнализации.

Таблица 7.7 -Идентификация экологических факторов технического объекта

Наименование	Структурные	Воздействи	Воздействие	Воздействи
технического	составляющие	е	технического	е
объекта,	технического	техническо	объекта на	техническог
технологическ	объекта,	го объекта	гидросферу	о объекта
	технологическог	на	(образующие	на
ого процесса		атмосферу	сточные	литосферу
	о процесса (производственн	1 1 0		
	` -	(вредные и	воды, забор	(почву,
	ого здания или	опасные	воды из	растительн
	сооружения по	выбросы в	источников	ый покров,
	функциональном	окружающ	водоснабжен	недра)
	у назначению,	ую среду)	ия)	(образовани
	технологические			е отходов,
	операции,			выемка
	оборудование),			плодородно
	энергетическая			го слоя
	установка			почвы,
	транспортное			отчуждение
	средство и т.п.			земель,
				нарушение
				И
				загрязнение
				растительно
				го покрова
2	Парад	П	0	и т.д.)
Заготовительн	Пресс, печь,	Пыль,	Охлаждающа	Окалина
ый процесс	ванна	токсичные	я жидкость	
(штамповка),		испарения	(закалочное	
термообработк			масло)	
а (закалка)				
Механическая	Все операции по	Пыль,	СОЖ,	Стружка,
обработка	удалению	токсичные	моющие	промасленн
(лезвийная,	материала	испарения	средства	ая ветошь
абразивная)				

Таблица 7.8 – Разработанные организационно-технические мероприятия по снижению негативного антропогенного воздействия технического объекта на окружающую среду.

Наименование		
технического		
объекта		
Мероприятия	ПО	Местный отсос на станках панельного типа, рукавный
снижению		фильтр СРФ-22.
негативного		
антропогенного	0	
воздействия	на	
атмосферу		
Мероприятия	ПО	Утилизация СОЖ на специальных пунктах, локальная
снижению		очистная установка для обработки технической воды
негативного		
антропогенного	0	
воздействия	на	
гидросферу		
Мероприятия	ПО	Утилизация на полигонах (захоронение и сжигание),
снижению		стружка в переплавку
негативного		
антропогенного	0	
воздействия	на	
литосферу		

Заключение по разделу «Безопасность и экологичность технического объекта».

- 1. В разделе «Безопасность и экологичность технического объекта» приведена характеристика технологического процесса изготовления штока, перечислены технологические операции, работников, должности производственно-техническое инженерно-техническое оборудование, И применяемые сырьевые технологические И материалы, расходные комплектующие изделия и производимые изделия (таблица 7.1).
- 2. Проведена идентификация профессиональных рисков по осуществляемому технологическому процессу изготовления штока, выполняемым технологическим операциям, видам производимых работ. В качестве опасных и вредных производственных факторов идентифицированы

следующие: стружка; высокий уровень шума; токсичные и канцерогенные вещества; высокая влажность воздуха; опасность поражения электрическим током.

- 3. Разработаны организационно-технические мероприятия, включающие технические устройства снижения профессиональных рисков, а именно подача СОЖ и охлаждения элементов станка, ограждение и разметка зоны опасности, экранирование зоны обработки; система вентиляции воздуха, виброизоляция оборудования. Подобраны средства индивидуальной защиты для работников (таблица 7.3).
- 4. Разработаны мероприятия по обеспечению пожарной безопасности технического объекта. Проведена идентификация класса пожара и опасных факторов пожара и разработка средств, методов и мер обеспечения пожарной безопасности (таблица 7.4). Разработаны средства, методы и меры обеспечения пожарной безопасности (таблица 7.5). Разработаны мероприятия по обеспечению пожарной безопасности на техническом объекте (таблица 7.6).
- 5. Идентифицированы экологические факторы (таблица 7.7) и разработаны мероприятия по обеспечению экологической безопасности на техническом объекте (таблица 7.8).

#### 8. ЭКОНОМИЧЕСКАЯ ЭФФЕКТИВНОСТЬ ПРОЕКТА

Цель раздела – рассчитать технико-экономические показатели проектируемого технологического проекта, произвести сравнительный анализ с показателями базового варианта и определить экономический эффект от предложенных в проекте технических решений.

#### 8.1. Краткая характеристика сравниваемых вариантов

Программа выпуска — 500 шт. Материал детали — сталь 40Х2Н2МА. Метод получения заготовки — штамповка. Масса детали — 6,7 кг, масса заготовки — 6,7 кг. Остальная краткая характеристика с необходимыми данными по писанию изменений в вариантах технологического процесса, представлена в таблице 8.1.

Таблица 8.1 – Описание изменений по сравниваемым вариантам

Базовый вариант	Проектируемый вариант
Операция 01	0 — Токарная
Оборудование – токарный станок с ЧПУ,	Оборудование – токарный станок с ЧПУ,
модель СА700СФ2К.	модель СА700СФ2К.
Оснастка – патрон ПЗКП 315Ф8.95, центр	Оснастка – патрон ПЗКП 315Ф8.95, центр
упорный 7032-0018 ГОСТ 13214-79.	упорный 7032-0018 ГОСТ 13214-79.
Инструмент – двух резцовая головка, резец	<u>Инструмент</u> – резец контурный 2101-0645
контурный 2101-0645 ГОСТ 20872-80 тип I	ГОСТ 20872-80 тип I Т5К10.
T5K10.	
Операция 01	5 – Токарная
Оборудование – токарный станок с ЧПУ,	Оборудование – токарный станок с ЧПУ,
модель СА700СФ2К.	модель СА700СФ2К.
Оснастка – патрон ПЗКП 315Ф8.95, центр	Оснастка – патрон ПЗКП 315Ф8.95, центр
упорный 7032-0018 ГОСТ 13214-79, двух	упорный 7032-0018 ГОСТ 13214-79.
резцовый суппорт.	<u>Инструмент</u> – резец контурный 2101-0645
Инструмент – резец контурный 2101-0645	ГОСТ 20872-80 тип I Т15К6.
ГОСТ 20872-80 тип І Т15К6.	
Тип производства – среднесерийный	
Условия труда – нормальные.	
Форма оплата труда – повременно-премиальн	ная
II . C	

Необходимые исходные данные по оборудованию, приспособлению, инструменту и т.д. заносим в таблицу. 8.2. Представленные значения не

будут учитывать затраты, связанные материалами, т.к. согласно описанию (табл. 8.1), ни материал, ни метод получения заготовки не были изменены, поэтому не могут оказывать влияния по конечный результат.

Таблица 8.2 – Исходные данные для расчета экономической эффектности

$N_{\underline{0}}$	Исходные данные	Обозначени	Единица	Числовое	значение
		e	измерени	Базовый	Проектный
			R		
1	2	3	4	5	6
1	Годовая программа выпуска	$N_{{\scriptscriptstyle {\it \Gamma}O\!{\it J}\!{\it I}}}$	um.	500	500
2	Норма штучного времени на	$T_{I\!I\!I\!T}$	мин	10,1	6,7
	операцию	1111		6	3,01
	В т.ч. машинное время	$T_{MAIII}$	мин	11,3	7,6
		MAIII		6,8	3,4
3	Трудоемкость проектирования	$T_{\mathit{TP}.\mathit{\PiP}}$	час	_	557,6
	технологии или техники	11 .111			
4	Цена единицы оборудования	Щоб	руб.	3186090	3186090
5	Выручка от реализации изношенного оборудования (5% от цены)	$B_{P.OF}$	руб.	159304,5	159304,5
6	Цена одной единицы	$II_{\Pi P}$	руб.	33220,5	33220,5
	приспособления	1111		42712,1	33220,5
7	Выручка от реализации	$B_{P.\Pi P}$	руб.	6644,1	6644,1
	изношенного приспособления	T.HF		8542,4	6644,1
8	Цена единицы рабочего	Ци	руб.	609,1	203,7
	инструмента	, N		260,1	260,1
9	Выручка от реализации	$B_{P.U}$	руб.	121,8	40,7
	изношенного инструмента	1.11	<b>-</b>	52	52
10	Количество переточек	$H_{{\it \Pi}{\it E}{\it P}}$		14	14
		IIEI		14	14
11	Цена одной переточки	$\mathcal{U}_{\mathit{\Pi E P}}$	руб.	19,2	19,2
		, IIEI		19,2	19,2
12	Стойкость одной переточки	$T_{_{H}}$	час	2	2
		H		2	2
13	Коэффициент случайной убыли	$\kappa_{y_{\!B}}$		1,1	1,1
	инструмента	3.5		1,05	1,05
14	Часовая тарифная ставка рабочего	$C_{q}$	руб./час	66,71	66,71
15	Часовая тарифная ставка наладчика	$C_{\prime\prime\!H}$	руб./час	97,67	97,67
16	Часовая заработная плата конструктора, технолога	$C_{4.TEX}$	руб./час	_	77,8
17	Габариты станка	$P_{Y\!J\!\!J}$	$M^2$	4,7	4,7
18	Коэффициент, учитывающий дополнительную площадь станка	$\kappa_{_{ m ДОП.ПЛ}}$		4,5	4,5

1	2	3	4	5	6
19	Стоимость эксплуатации 1м <sup>2</sup>	$L\!\!\!I_{I\!\!I\!\!I}$	руб/м²	4500	4500
	площади здания в год	, 1131			
20	Установленная мощность единицы	$M_{_{VCT}}$	кВт	22	22
	оборудования	V 01			
21	Цена за 1 кВт электроэнергии	Ц <sub>э.э</sub>	руб./кВт	2,5	582
22	Цена за 1 м <sup>3</sup> воды	Ц	руб./м <sup>3</sup>	4,4	79
23	Цена за 1 м <sup>3</sup> сжатого воздуха	$\mathcal{L}_{C\!K}$	руб./м <sup>3</sup>	0,2	279
24	Затраты на разработку одной	$3_{\scriptscriptstyle Y.II}$	руб.	15819,3	14770
	программы	3.11		14770	14770
25	Величина запуска деталей (размер	$H_{\scriptscriptstyle 3A\Pi}$	шт.	16	40
	партии запуска)	JAII		16	40

# 8.2. Расчет необходимого количества оборудования и коэффициентов его загрузки

Используя исходные данные, представленные в таблице 8.2 и методику необходимого расчета количества оборудования, представленную методических указаниях «Экономическое обоснование дипломных работ по совершенствованию технологических процессов механической обработки детали», определим данную величину.

$$H_{OB.PACY} = \frac{N_{IOJ} \cdot T_{IIIT}}{\Phi_{2\Phi,OB} \cdot \kappa_{RH} \cdot 60}, \quad um.$$
 (8.1)

Расчетное количество оборудования округляется до ближайшего, большего числа и получаем их принятое или фактическое количество  $H_{OE,\Pi P H H}$  или  $H_{OE}$ .

Базовый вариант:

$$\begin{split} H_{OB.PACY}(\mathbf{Q}_{10}) &= \frac{500 \cdot 10,1}{4015 \cdot 1,2 \cdot 60} = 0,017 \Rightarrow H_{OB}(\mathbf{Q}_{10}) = 1 \\ H_{OB.PACY}(\mathbf{Q}_{15}) &= \frac{500 \cdot 11,3}{4015 \cdot 1,2 \cdot 60} = 0,02 \Rightarrow H_{OB}(\mathbf{Q}_{15}) = 1 \end{split}$$

$$H_{OB.PACY} = \frac{500 \cdot 11,3}{4015 \cdot 1,2 \cdot 60} = 0,02 \Rightarrow H_{OB} = 1$$

Проектный вариант:

$$H_{OB.PACY} \bullet 10 = \frac{500 \cdot 6.7}{4015 \cdot 1.2 \cdot 60} = 0.012 \Rightarrow H_{OB} \bullet 10 = 1$$

$$H_{OB.PACY}$$
  $\bullet 15$  =  $\frac{500 \cdot 7.6}{4015 \cdot 1.2 \cdot 60} = 0.013 \Rightarrow H_{OB}$   $\bullet 15$  = 1

$$\kappa_3 = \frac{H_{OE,PACY}}{H_{OE,TIP}} \tag{8.2}$$

Учитывая то, что на каждой операции необходимо по одному станку, то в этом случае коэффициент загрузки оборудования на этих операциях будет равен расчет величине оборудования, определенной по формуле (8.1)

#### 8.3. Расчет дополнительных исходных данных для станков с ЧПУ

Используя казанное выше методическое указание, определить необходимые параметры для операций 010 и 015, т.к. именно там применяются станок с ЧПУ, по следующим формулам:

$$H_{AET} = \frac{\Phi_{3\phi.OE} \cdot 60}{T_{UIT} \cdot N_{T}}, \ um \tag{8.3}$$

Базовый вариант:

$$H_{\text{DET} \bullet 10} = \frac{4015 \cdot 60}{10,1 \cdot 500} = 47,703 \approx 48$$

$$H_{\text{DET} \bullet 10} = \frac{4015 \cdot 60}{6,7 \cdot 500} = 71,910 \approx 72$$

$$H_{\text{DET} \bullet 15} = \frac{4015 \cdot 60}{11,3 \cdot 500} = 42,637 \approx 43$$

$$H_{\text{DET} \bullet 15} = \frac{4015 \cdot 60}{7,6 \cdot 500} = 63,395 \approx 63$$

$$\Pi_{CVT} = \frac{\Pi_{\Gamma}}{360}, \quad um. \tag{8.4}$$

$$\Pi_{CVT} = \frac{500}{360} = 1,389 \approx 1$$

$$T_{II} = \sum_{i=1}^{m} \frac{H_{3A\Pi} \cdot T_{IIIT} / 60 + 2 \cdot T_{MO}}{16}, \ \partial ne \check{u}$$
 (8.5)

$$T_{\mathcal{U}(\mathbf{G}A3)} = \frac{16 \cdot 10, 1/60 + 2 \cdot 0, 5}{16} + \frac{16 \cdot 11, 3/60 + 2 \cdot 0, 5}{16} = 0,48$$

$$T_{\text{UQTP}} = \frac{40 \cdot 6,7 / 60 + 2 \cdot 0,5}{16} + \frac{40 \cdot 7,6 / 60 + 2 \cdot 0,5}{16} = 0,72$$

## 8.4. Расчет капитальных вложений в совершенствование ТП

Для определения капитальных вложений, так же будем использовать уже представленные методические указания, которые, учитывая описанные изменения, позволят определить необходимые средства для вложений. Принимая во внимание тот факт, что изменениям подверглись лишь

приспособления и инструмент, определим величину капитальных вложений с учетом этих особенностей по формулам (8.6) - (8.10). Так как интерес для нас представляет проектируемый вариант, то и расчеты будем вести только данному варианту, без учета базового.

$$3_{\Pi P} = T_{TP\Pi P} \cdot C_{YTEX}, \quad py \delta. \tag{8.6}$$

$$K_{\Pi P} = \sum H_{\Pi P} \cdot \mathcal{U}_{\Pi P} \cdot \kappa_3, \ py \delta. \tag{8.7}$$

$$K_{H} = \sum \frac{II_{H} \cdot T_{MAIII} \cdot N_{\Gamma} \cdot \kappa_{y_{\overline{b}}} \cdot H_{H}}{T_{H} \cdot \P_{HEP} + 1 \cdot 60}, py 6.$$
(8.8)

$$H3\Pi = \Pi_{CVT} \cdot T_{II} \cdot C_{TEX}, \ py6. \tag{8.9}$$

$$K_{BB,\Pi P} = 3_{\Pi P} + K_{\Pi P} + K_{II} + H3\Pi, py 6.$$
 (8.10)

Для расчетов значений по формулам (8.6) – (8.10) использовалось программное обеспечение Microsoft Excel, а полученные значения представлены в таблице 8.3

Таблица 8.3 – Расчетные значения, входящие в капитальные вложения по проектируемому варианту

No	Наименование параметра,	Значение
$\Pi/\Pi$	условное обозначение	параметра по
	и единица измерения	проектному
		варианту
1	Затраты на проектирование, $3_{\Pi P}$ , руб.	62208,88
2	Затраты на приспособление, $K_{\Pi P}$ , руб.	821,66
3	Затраты на инструмент, $K_{U}$ , руб.	515,2
4	Оборотные средства в незавершенном производстве, НЗП, руб.	50,22
5	Итого капитальные вложения в проектируемый вариант, $K_{BB.\Pi P}$ ,	63595,96
	руб.	

### 8.5. Расчет технологической себестоимости сравниваемых вариантов

Основными элементами, входящими в технологическую себестоимость являются: основные материалы, заработная плата основных рабочих (операторов и наладчиков), начисления на заработную плату и расходы на содержание и эксплуатацию оборудования, состоящие из определенного количества параметров. Все перечисленные элементы определяются по

формулам, которые имеют подробное описание в методических рекомендациях.

Учитывая то, что материал и метод получения заготовки не изменился по вариантам, поэтому расчеты по определению величины основных материалов проводит не целесообразно, это связано с тем, что данная величина не повлияет на конечных результат расчетов. Остальные значения рассчитаем по следующему алгоритму.

$$3_{\Pi\Pi,O\Pi} = \frac{\sum T_{\Pi\Pi} \cdot C_{\eta}}{60} \cdot \kappa_{y} \cdot \kappa_{\Pi\Phi} \cdot \kappa_{\PiP} \cdot \kappa_{\chi} \cdot \kappa_{H} \cdot \kappa_{B,H}, \ py6. \tag{8.11}$$

$$3_{\Pi\Pi,O\Pi, \P,A3} = \frac{\P,0,1+11,3 \ge 66,71}{60} \cdot 1,087 \cdot 1,14 \cdot 1,12 \cdot 1,08 \cdot 1,076 \cdot 1,2 = 46,05$$

$$3_{_{\Pi J , O \Pi \P P}} = \frac{\P, 7 + 7.6 \cdot 66.71}{60} \cdot 1,087 \cdot 1,14 \cdot 1,12 \cdot 1,08 \cdot 1,076 \cdot 1,2 = 30,77$$

$$3_{\Pi J.H} = \frac{\Phi_{\Im \Phi.PAE} \cdot C_{\nu_H} \cdot H_{OE,OEUU} \cdot \kappa_{3,CP}}{H_{OE,CJ} \cdot N_{T}} \cdot \kappa_{V} \cdot \kappa_{H\Phi} \cdot \kappa_{HP} \cdot \kappa_{J} \cdot \kappa_{H}, \ py \delta. \tag{8.12}$$

$$3_{_{\Pi\Pi.HA\Pi} \bullet A3)} = \frac{1731 \cdot 97,67 \cdot 2 \cdot 0,019}{17 \cdot 500} \cdot 1,116 \cdot 1,14 \cdot 1,12 \cdot 1,08 \cdot 1,076 = 1,22$$

$$3_{_{\Pi J I. HAJI} \P IP} = \frac{1731 \cdot 97,67 \cdot 2 \cdot 0,012}{17 \cdot 500} \cdot 1,116 \cdot 1,14 \cdot 1,12 \cdot 1,08 \cdot 1,076 = 0,81$$

$$H_{3\Pi\Pi} = 3\Pi \cdot \kappa_C = \mathbf{Q}_{\Pi\Pi\Pi\Pi\Pi} + 3_{\Pi\Pi\Pi\Pi\Pi} \cdot \kappa_C, py6. \tag{8.13}$$

$$H_{3.\Pi\Pi}$$
 (5.43) = (46,05 + 1,22)  $0.3 = 47,27 \cdot 0.3 = 14,18$ 

$$H_{3.\Pi\Pi}$$
 ( $P$ ) = (0,77 + 0,81) 0,3 = 31,58 · 0,3 = 9,48

$$P_{A} = \frac{\mathbf{Q}_{OB} \cdot \mathbf{Q}_{MOHT} + 1 - B_{P.OB} \cdot H_{A} \cdot H_{OB} \cdot \kappa_{3}}{\Phi_{2\Phi,OB} \cdot 100 \cdot 60 \cdot \kappa_{BH}}, py6.$$
(8.14)

$$P_{A} = \frac{\mathbf{Q}_{OB} \cdot \mathbf{Q}_{MOHT} + 1 - B_{P.OB} \cdot \kappa_{P} \cdot H_{OB} \cdot \kappa_{3}}{\Phi_{9\Phi.OB} \cdot 60 \cdot \kappa_{BH}}, py 6.$$
(8.15)

$$P_{\mathfrak{I}.\mathfrak{I}} = \frac{M_{yCT} \cdot T_{MAIII} \cdot \mathcal{U}_{\mathfrak{I}\mathfrak{I}} \cdot \kappa_{M} \cdot \kappa_{\Pi} \cdot \kappa_{O\mathcal{I}} \cdot \kappa_{B}}{K\Pi\mathcal{I} \cdot 60}, \ py6. \tag{8.16}$$

$$P_{H} = \frac{[\![U_{H} \cdot \kappa_{TP.H} - B_{P.H}]\!] \kappa_{VE} + H_{\Pi EP} \cdot [\![U_{\Pi EP}]\!] T_{MAIII} \cdot H_{H}}{T_{H} \cdot [\![U_{\Pi EP}]\!] + 1] \cdot [\![G_{\Pi EP}]\!] \cdot [\![U_{\Pi EP}]\!$$

$$P_{\Pi P} = \frac{\langle I_{\Pi P} \cdot \kappa_{P.\Pi P} - B_{P.\Pi P} \rangle H_{\Pi P} \cdot \kappa_{3}}{N_{TO\Pi} \cdot T_{\Pi P}}, py \delta.$$
(8.18)

$$P_{CM} = \frac{H_{OE} \cdot \kappa_3 \cdot P_{COK}}{N_{TOK}}, \ py 6. \tag{8.19}$$

$$P_{B} = \frac{\Phi_{\Theta \Phi, OB} \cdot H_{OB} \cdot \kappa_{3} \cdot \mathcal{U}_{B} \cdot \mathcal{V}_{B}}{N_{IOA}}, py 6.$$
(8.20)

$$P_{\Pi\Pi} = \frac{H_{OB} \cdot \kappa_3 \cdot P_{V\!\!/\!\!\!\!/} \cdot \kappa_{\varOmega O\Pi.\Pi\Pi} \cdot \mathcal{U}_{\Pi\Pi}}{N_{TO\!\!/\!\!\!\!/}}, \ py \delta. \tag{8.21}$$

$$P_{C\mathcal{K}} = \frac{H_{OB} \cdot \kappa_3 \cdot \Phi_{\ThetaOB} \cdot \mathcal{Y}_{C\mathcal{K}} \cdot \mathcal{U}_{C\mathcal{K}}}{N_{IOA}}, py 6.$$
 (8.22)

$$P_{V.\Pi P} = \frac{\sum_{i=1}^{m} 3_{V\Pi} \cdot \kappa_3 \cdot H_{DET} \cdot \kappa_{B.\Pi P}}{T_{\Pi EP} \cdot \Pi_{\Gamma}}$$
(8.23)

$$P_{_{\mathcal{I},OB}} = P_{_{A}} + P_{_{P,OB}} + P_{_{\mathcal{I},\mathcal{I}}} + P_{_{H}} + P_{_{HP}} + P_{_{CM}} + P_{_{B}} + P_{_{HII}} + P_{_{CK}} + P_{_{V,IIP}}, \;\; py6. \tag{8.24}$$

Для расчетов значений по формулам (8.14) – (8.24) использовалось программное обеспечение Microsoft Excel, а полученные значения представлены в таблице 8.4

Таблица 8.4 – Расчетные значения параметров, входящих в расходы на содержание и эксплуатацию оборудования

$N_{\underline{0}}$	Наименование параметра, условное обозначение	Значение	параметра
Π/	и единица измерения	Базовый	Проектный
П			_
1	Расходы на амортизацию оборудования, $P_A$ , руб.	0,142	0,095
2	Расходы на текущий ремонт, $P_{P.OE}$ , руб.	0,03	0,02
3	Расходы на электроэнергию $P_{3}$ , руб.	8,205	4,166
4	Расходы на содержание и эксплуатацию рабочего	0,868	0,504
	инструмента, $P_{U}$ , руб.		
5	Расходы на содержание и эксплуатацию приспособления,	4,665	0,503
	$P_{\Pi P}$ , руб.		
6	Расходы на смазочно-охлаждающую жидкость, $P_{CM}$ , руб.	0,096	0,064
7	Расходы на технологическую воду, $P_B$ , руб.	0,799	0,534
8	Расходы на содержание и эксплуатацию производственной	0,011	0,007
	площади, $P_{\mathfrak{I}.\Pi.\Pi}$ , руб.		
9	Расходы на сжатый воздух, $P_{C\!K}$ , руб.	7,046	4,708
10	Расходы на подготовку и эксплуатацию управляющей	18,828	18,007
	программы для станков с ЧПУ, $P_{Y.\Pi P}$ , руб.		
11	Итого расходы на содержание и эксплуатацию	40,689	28,609
	оборудования, $P_{\mathfrak{I}.OE}$ , руб.		

$$C_{TEX} = 3\Pi + H_{3,\Pi,\Pi} + P_{3,OB}, py\delta.$$
 (8.25)

$$C_{TEX} = 47,27 + 14,18 + 40,69 = 102,14$$

$$C_{TEX} = 31,58 + 9,48 + 28,61 = 69,67$$

Далее определяем полную себестоимость выполнения рассматриваемых операций, для этого используем калькуляцию себестоимости обработки детали по вариантам технологического процесса [ ]. Согласно ей мы получаем: полную себестоимость по базовому варианту –  $C_{ПОЛН(БА3)} = 275,02$  руб., а по проектному варианту –  $C_{ПОЛН(ПР)} = 185,19$  руб.

#### 8.6. Расчет показателей экономической эффективности

$$\Pi_{O\mathcal{K}} = \mathbf{C}_{\Pi O \Pi \mathbf{G} A 3} - C_{\Pi O \Pi \mathbf{G} P} N_{\Gamma O \Pi}, \ py 6. \tag{8.26}$$

$$\Pi_{OK} = (75,02 - 185,19) = 500 = 44915$$

$$H_{\Pi P H E} = \Pi_{O K} \cdot K_{H A I}, \ py 6. \tag{8.27}$$

 $H_{\Pi P M E} = 44915 \cdot 0.2 = 8983$ 

$$\Pi_{\text{VIICT}} = \Pi_{OK} - H_{\Pi P IIB}, \text{ py6.} \tag{8.28}$$

 $\Pi_{YMCT} = 44915 - 8983 = 35932$ 

$$T_{OK.PACY} = \frac{K_{BB.\Pi P}}{\Pi_{YMCT}} + 1, \ \rho \partial a$$
 (8.29)

$$T_{OK.PACY} = \frac{63595,96}{35932} + 1 = 2,77 \approx 3 \text{ } coda$$

$$\mathcal{A}_{OBUI,\mathcal{A}UCK} = \Pi_{\Psi UCT,\mathcal{A}UCK} \blacktriangleleft = \Pi_{\Psi UCT} \cdot \sum_{1}^{T} \frac{1}{\blacktriangleleft + E}, py 6. \tag{8.30}$$

$$\mathcal{A}_{OBIII.AUCK} = \Pi_{VIICT.AUCK}(T) = 35932 \cdot \left(\frac{1}{(+0.2)} + \frac{1}{(+0.2)} + \frac{1}{(+0.2)}\right) = 75672,79$$

$$\Theta_{\mathit{ИНT}} = \mathit{ЧДД} = \mathit{Д}_{\mathit{OБЩ.ДИСК}} - \mathit{K}_{\mathit{OБЩ}}, \ \mathit{py6}.$$
 (8.31)

 $\Theta_{UHT} = 4 \Pi \Pi = 7567279 - 6359596 = 12076,83$ 

$$U \mathcal{I} = \frac{\mathcal{I}_{OBUL,\mathcal{I}UCK}}{K_{OBUL}}, \ py 6./ py 6.$$
 (8.32)

Благодаря замене станочного приспособления и инструмента на операциях 010 и 015 (токарные), удалось уменьшить трудоемкость их выполнения. Это привело к снижению себестоимости на 32,7% и позволит получить дополнительную чистую прибыль в размере 35932 руб. Необходимые капитальные вложения в объеме 63595,96 руб. окупятся в течение 3-х лет. Расчеты подтвердили эффективность инженерных решений, положительной величиной интегрального экономического эффекта, которая составляет — 12076,83 руб.

## ЗАКЛЮЧЕНИЕ

В технологическом процессе изготовления маложесткого штока на операциях токарной обработки предлагается использовать двух резцовый суппорт. Благодаря ему происходит обработка недеформированного вала на повышенных режимах резания. Это позволяет при той же точности получить меньшую шероховатость благодаря снижению вибраций, повысить стойкость инструмента. Из-за уравновешенности сил резания выравниваются остаточные напряжения.

#### ЛИТЕРАТУРА

- 1. Анурьев В. И. Справочник конструктора-машиностроителя. В 2-х т. Т.1/ В. И. Анурьев [и др.].- М.: Машиностроение, 1982. 728с.
- 2. Анурьев В. И. Справочник конструктора-машиностроителя. В 2-х т. Т.2/ В. И. Анурьев [и др.].-М.: Машиностроение, 1982. 584с.
- 3. Баранчиков В.И. Прогрессивные режущие инструменты и режимы резания металлов: Справочник/ В.П. Баранчиков [и др.] М.: Машиностроение, 1990. 400с.
- 4. Горохов В.А. Проектирование и расчет приспособлений/В.А.Горохов Мн.: Высш. школа, 1986. 238с.
- 5. Справочник технолога-машиностроителя. В 2-х т. Т.1/ Косилова А.Г. [и др.]. М.: Машиностроение, 1985. 656 с.
- 6. Справочник технолога-машиностроителя. В 2-х т. Т.2/ Косилова А.Г. [и др.]. М.: Машиностроение, 1985. 496 с.
- 7. Допуски и посадки: Справочник. В 2-х ч.Т.1/ Мягков В.Д. [и др.].- Л.: Машиностроение, 1982. 543 с.
- 8. Допуски и посадки: Справочник. В 2-х ч.Т.2/ Мягков В.Д. [и др.].- Л.: Машиностроение, 1982. 543 с.
- 9. Горбацевич А.Ф., Шкред В.А. Курсовое проектирование по технологии машиностроения./А.Ф. Горбацевич, Шкред В.А. Минск, "Высш. Школа", 1983 256 с.
- 10. Вардашкин Б.Н. Станочные приспособления: Справочник. В 2-х т. Т.1/ Б.Н. Вардашкин [и др.]. М.: Машиностроение, 1984. 604с.
- 11. Вардашкин Б.Н. Станочные приспособления: Справочник. В 2-х т. Т.2/ Б.Н. Вардашкин [и др.]. М.: Машиностроение, 1984. 656с.
- 12. Решетов, Д. Н. Детали машин : учеб. для вузов / Д. Н. Решетов. М.:Машиностроение, 1989. 496 с.
- 13. Технология машиностроения : в 2 кн.: учеб. пособие для вузов. Кн.1. Основы технологии машиностроения / Э. Л. Жуков [и др.] ; под ред. С.Л. Мурашкина . М. : Высш. шк., 2005. 278 с. : ил. Библиогр.: с. 275-276.

- 14. Технология машиностроения : в 2 кн.: учеб. пособие для вузов. Кн.2. Производство деталей машин / Э. Л. Жуков [и др.] ; под ред. С.Л. Мурашкина. М. : Высш. шк., 2005. 295 с. : ил. Библиогр.: с. 292-293. Прил.: с. 223-291.
- 15. Маталин А. А. Технология машиностроения : учеб. для студ. вузов, обуч. по спец. 151001 напр. "Конструкторско-технологическое обеспечение машиностроит. производств" / А. А. Маталин. Изд. 3-е, стер. ; СПб.: Лань, 2010. 512 с. : ил. Библиогр.: с. 510. Прил.: с. 507-509.
- 16. Мычко В. С. Основы технологии машиностроения [Электронный ресурс] : учеб. пособие для студентов вузов / В. С. Мычко. Минск: Вышэйшая школа, 2011. 382 с. ISBN 978-985-06-2014-9.
- 17. Безъязычный В. Ф. Основы технологии машиностроения [Электронный ресурс] : учебник для вузов / В. Ф. Безъязычный. Москва: Машиностроение, 2013. 568 с. : ил. (Для вузов). ISBN 978-5-94275-669-7.
- 18. Расторгуев Д. А. Разработка плана изготовления деталей машин : учеб.-метод. пособие / Д. А. Расторгуев ; ТГУ ; Ин-т машиностроения ; каф. "Оборудование и технологии машиностроит. пр-ва". ТГУ. Тольятти : ТГУ, 2013. 51 с. : ил. Библиогр.: с. 50. 28-58.
- 19. Расторгуев Д. А. Проектирование технологических операций [Электронный ресурс] : электрон. учеб.-метод. пособие / Д. А. Расторгуев ; ТГУ ; Ин-т машиностроения ; каф. "Оборудование и технологии машиностроит. пр-ва". Тольятти : ТГУ, 2015. 140 с. : ил. Библиогр.: с. 55-56. Прил. : с. 57-140. ISBN 978-5-8259-0817-5 : 1-00.
- 20. Расторгуев Д.А. Разработка технологической операции : схема базирования и расчет припуска : учеб.-метод. Пособие / Д. А. Расторгуев ; ТГУ ; Автомех. Ин-т ; каф. «Оборудование и технологии машиностроит. Прва». ТГУ. Тольятти : ТГУ, 2008. 35 с.
- 21. Артамонов, Е.В. Проектирование и эксплуатация сборных инструментов с сменными твердосплавными пластинами [Электронный ресурс]: учебное пособие / Е.В. Артамонов, Т.Е. Помигалова, М.Х. Утешев.

- Электрон.дан. Тюмень :ТюмГНГУ (Тюменский государственный нефтегазовый университет), 2013.
- 22. Григорьев, С.Н. Прогрессивные технологии машиностроительных производств [Электронный ресурс] : / С.Н. Григорьев, М.В. Терешин, А.С. Верещака [и др.]. Электрон.дан. М. : Горная книга, 2011.
- 23. Ермолаев, В.В. Технологическая оснастка. Лабораторнопрактические работы и курсовое проектирование: учеб. пособ. – М.: Изд-во «Академия», 2012. – 320 с.
- 24. Маслов, А. Р. Инструментальные системы машиностроительных производств: учеб.для вузов / А. Р. Маслов. Гриф УМО. Москва: Машиностроение, 2006. 335 с.
- 25. A.c. СССР №639650, B23B1/00 Данченко В.Н., Пономарев А.К. Многорезцовая головка, 1978
- 26. А.с. СССР № 667335 В 23 В 29/034 Р. А. Миюсский, Д. Е. Лихтенштейн, [и др.] Резцовая головка, 1978.
- 27. А.с. СССР №1546210 B23B29/32 Б.М. Сойкин, И.А.Масленников, А.И.Струженцев, Ю.В.Белоусов, Б.В.Травяников, К.Г.Кислов. Многорезцовая головка, 1990
- 28. РФ (СССР) пат. №2069606 B23B29/32 Б.М. Сойкин, Ю.В.Белоусов, С.А.Князькин. Многорезцовая головка, 1996.
- 29. А.с. СССР №1022778 , кл. B23B1/00 Пегов В.Б. Способ многорезцового точения, 1983.
- 30. А.с. СССР №1026971 В23В1/00 Нагорняк С.Г., Кремер Ю.М. Токарный станок, 1983.

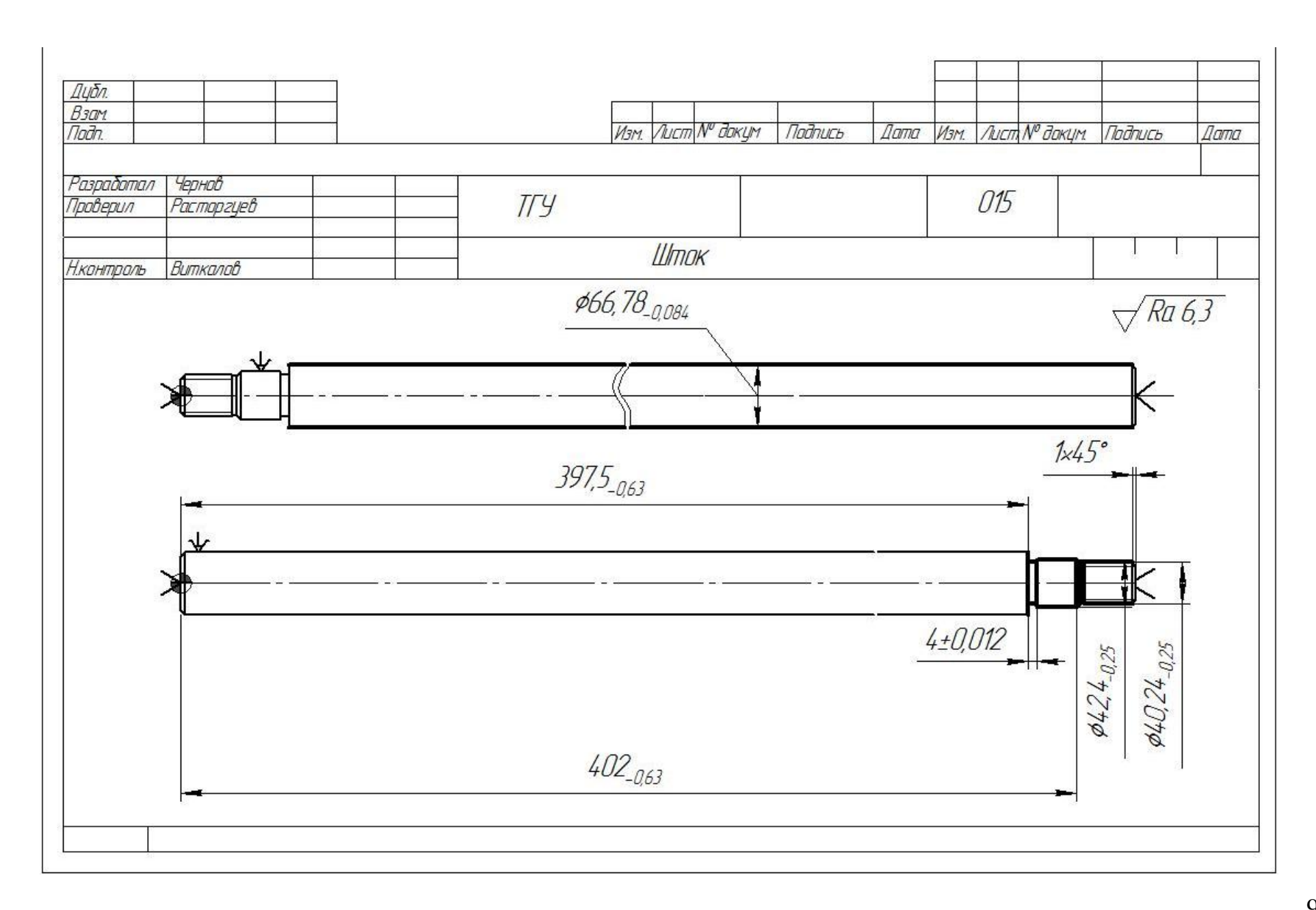
## приложения

Разра	аб.	Черно	)B					r	TEV OT	T / / / /	<b>—</b>							
Прове	ер.	Расто	ргуев						ГГУ ОТ	1711	1							
Утв	١.	Бобро	вский	Í						П	Цток							
Н. кон	ітр.	Витка	ЛОВ															
M01							Ста	ль 40ХН2	2МА ГОСТ1050-	-74								
		Код		EB	МД	EH	H. pacx.	КИМ.	Код загот.		Пт	офиль	и размерь	Ы	КД	M3		
M02		18		166	6,7	1	1	0,85	24				2×923,2		1	7,9	-	
A	Цех.	. Уч.	PM	Опер.	Код, н	аименов	ание операции					Обоз	начение до	окумента	a			
Б	,	-			вание об			CM	Проф.	P	УТ	КР	КОИД	EH	ОП	Кшт.	Тпз.	Тшт.
A03				000		Заготов	ительная											
Б04				ш	гамповка													
05																		
A06				005		1 1	-центровальная		18632	22	1	1	1	1	35	1	20	1,3
Б07				1 .	ентровал													
T08									00-0209-12 ГОС		8-75;39	91830 (	<b>Рреза</b> торг	цовая ГО	CT 26595-	85, 391290	Сверло	
09	цент	гровочн	oe 231'		OCT 149:			ркуль ШІ	I – 111 ΓΟCT 16				1 .				1	
A10		20	210107	010			окарная		15292	22	1	1	l	1	35	1	15	6,7
Б11 Т12	206				й станок			22 0019 1	OCT 13214-79 3	02110	Danarr r			0645 FO	CT 20072	00 mm I T5	I/10 ·	
T13							нтр упорный 70 иркуль ШЦ– 11			92110	Резец і	контур	ныи 2101-	0043 1 0	C1 20872-	80 ТИП Т ТЗ	K10 ,	
A14	дву.	Т резцов	зая уст	015	<u> </u>		иркуль шц— 11 окарная	110011	15292	22	1	1	1	1	35	1	15	7,6
Б15		35	R1810 7		і ій станок				13272	22	1	1	1	1	33	1	13	7,0
T16	396							32-0018 I	OCT 13214-79 3	92110	Резен і	KOHTVD	<u>।</u> ный 2101-	0645 ΓΟ	CT 20872-	<u>1</u> 80 тип I Т5	К10 ·	
17									35-1835-1836 OC									
18					М40 ГОО									T				
A19				020			бработка											
Б20				(	Стапель	-	•											
T21								•		•	•	•				•		•
22																		
23																		
A24				025			резерная		18632	22	1	1	1	1	35	1	20	6,6
Б25					о фрезерн													
26								⁄бками 72	00-0209-12 ГОС	T 2116	8-75 39	91820	<b>Þреза кон</b> і	цевая ГО	CT 17026-	71 P6M5K	5	
T27	3933	311 штаі	нгенци	ркуль Ц	Щ-111 І	OCT 16	0-80											
МК																		

	Цех.	Уч.	PM	Опер.	Код, наименование операции					Обоз	начение до	окумента	a			
A						G) 1		1 -	T	T - 475				T		
Б	ı		Код, і		вание оборудования	CM	Проф.	P	УТ	КР	КОИД	EH	ОП	Кшт.	Тпз.	Тшт.
A01		20162	1.5	030	4262 Фрезерная		18632	22	1	1	1		35	1	20	35,6
Б02	20.612				ый-фрезерный станок 6Т83Г	7 50	00 0000 10 50	OF 0114	0.75.2	01001			D() (	5 EO GE 20	(1.60 =	
T03					рующиеся с призматическими губ	эками /2	00-0209-12 1 00	CI 2116	8-75 3	91834 (	Рреза дись	совая паз	вовая Р6М:	5 I OC1 39	64-69, □=:	50
T04	39331	1 штан	ігенци	іркуль Ш	Щ-111 ГОСТ 160-80			1		1	1	ı	1	T	П	
05				007												
A06				035	Термообработка											
Б07				Печн	- стапель											
T08	ı			0.40	1000 17	1		1		1	1	ı	1	1	1	
10		20121		040	4269 Центрошлифовальная		10072	22	1	1		- 1	2.5	1	20	2.1
A11		38131	/ Цен	грошлиф	овальный станок ZSM810		18873	22	1	1	1	l	35	1	20	2,1
Б12	777 1	1														
O13				овые отв			00 0200 12 FO	OT 2116	0 75 2	07120 I	7		A FI/Y	7.05 A E 40 I	OV FOCT	2447
T14		<u>1 тиск</u> 39361			рующиеся с призматическими губ	эками /2	00-0209-12 1 00	1 2116	08-73 3	9/1301 T	оловка ш.	лифовал	ьная АГК:	y 25AF401 T	.9V 1 OC 1	2447-
15 A16	2007;	393011	ј шао	ЛОН												
A10 A01	I			045	4131 Тторцекруглошлиф.		18873	22	1	1	1	1	35	1	20	1,7
Б02	29	212117	Горио		ифовальный станок 3Б153T		100/3	22	1	1	1	1	33	1	20	1,7
O03				у торец	пифовальный станок 3В1331											
T04					й 6152- 0133 ГОСТ 13334-67. 392	871 Heur	n упорный 703	2-0018	ГОСТ	13214_	79:397130	25 A E 40	I QV Knyr	шпифован	ший	
05					2003; 393410 Микрометр ГОСТ 16		р упорный 703	2-00101	1001	13217-	17,377130	23/11 40	L) v Kpyr	Плифовалі	ынын	1
A06	3 330	X4UX12	/100	050	4131 Круглошлифовальная	00-80	18873	22	1	1	1	1	35	1	20	6,9
Б07		29121	1 Vnv		овальный станок 3В151А		100/3		1	1	1	1	33	1	20	0,9
O08	Шпид	овать	1.0		овальный станок ЗВТЗТА											
T09					й 6152- 0133 ГОСТ 13334-67. 392	871 Heur	n упорный 703	2-0018	ГОСТ	13214_	79-397130	23 A F40	M6V Kny	г шпифова	пригій 1	-
10					; 393410 Микрометр ГОСТ 160-80		р упорный 703	2-00101	001	13217-	17,371130	25/11-10		і шлифова.	пыный і	1
A11	400A3	70X130	1001	055	4151 Зубошлифовальная		12290	22	1	1	1	1	35	1	20	13,4
Б12	l	381	561 3v		овальный станок 5А841		12270		-	1		-	33	1	20	13,1
O13	Шпид	овать		оошинф		<u> </u>				1				· I	II.	
T14				волковы	й 6152- 0133 ГОСТ 13334-67. 392	871 Пент	р упорный 703	2-0018	ГОСТ	13214-	79:397130	25F40L9	9V Kpvr III	лифовальн	ый 3	
15					IK-50 ΓΟCT 6507-78		<u>p                                    </u>									
A16			r	060	4135 Резьбошлифовальная		17003	22	1	1	1	1	35	1	20	1,8
Б17		38131	6 Резі	ьбошлиф	овальный станок 5Д822В											
O18	Шлиф	овать			7 1	1				•				•		-
T19					ый 6152- 0133 ГОСТ 13334-67.	392871	Центр упорнь	ій 7032	-0018	ГОСТ	13214-79	;397130	Круг шл	іифовальні	ый 25A F	40 L9V
					2008; Калибр ГОСТ 6507-78						<u> </u>	- 				

МК																
A	Цех.	Уч.	PM	Опер.	Код, наименование операции					Обоз	начение до	окумента	a			
Б	1		l	<b>-</b> - <b>I</b>		CM	Проф.	P	УТ	КР	КОИД	EH	ОП	Кшт.	Тпз.	Тшт.
A01				065	Моечная											
Б02																
T03																
04																
05				070	Контрольная											
A06					_											
Б07																
T08																
09																
10																
A11																
Б12																
T13														_		
14																
15																
A16																
Б17																
T18										T	T	T	1	1		1
19		1	1	1												
20																
A21																
Б22																
T23									1	ı	T	Π	1	1		1
24		1	ı													
25																
26																
27																
MK																

Разра	бот.	Чернов						ТГУ									
Пров	ерил	Расторгуев															
	юконт.	Виткалов								ШТ	ОК				ВКР		015
Утвер		Бобровский		Management			ı	Т		1	ED	МП	D			MO	OH
наим	еновани	е операции		Материал				Твердо	сть		EB	МД	вид и разм	меры загото	ВКИ	М3	ОИД
	4	110 токарная		02 Сталь 40Σ 74	КН2МА Г	OCT1050-		260H	В		КГ	6,7		тамповка □ □×923,2		7,9	1
Обор	удовани	е, устройство Ч	ПУ	Обозначение	е програм	ІМЫ		T <sub>o</sub>	Т	В	Тпз	T <sub>IIIT</sub>		COX	К		
38181	10 Токар	ный станок СА	700СФ2К					4,33	2,2	24	15	7,6	3	Эмульсия 2%	% раствор	)	
				D(в)мм	Lмм	tмм	i	S <sub>z</sub> MM/	зуб	$S_0$	мм/об	S <sub>м</sub> мм/мин	п <sub>1</sub> об/мин	V <sub>1</sub> м/мин	п об/м		V м/мин
O0 1	1.Уста	новить заготов	ку	I													IVI/ IVIFIII
T0 2	396110	Патрон ПЗКП-	315Ф8.95.	392871 Центр	упорный	7032-0018	ΓΟ	CT 1321	4-79	392	110						
O0 3	1.Точи	ить шейки 1 и 2	, подрезати	ь торцы 3, 4 в р	размер со	гласно эски	за										
T0 4	392110	Резец контурны	ый 2101-06	45 ΓΟCT 2087	2-80 тип	I T5K10,											
T0 5	Двух ре	езцовая установ	жа; 393311	Штангенцирк	уль ШЦ–	111 ГОСТ	160	- 80									
P06				42	410	2/4	1				0,4	326			815		90
O1 1	2.Снят	гь заготовку															
ОК							<u> </u>	]									1



	Фармат	Зона	Mas.	Обозначени	е Наименование	у Приме- чание
Лерв. примен					<u>Документация</u>	
Men	A1			16.07.521.50.000.CE	Сборочный чертеж	1
					Детали	
Cripadi. Na			1	1/ 07/21/20001		1
TOTAL STATE	8	$\dashv$	55.00	<i>16.07.521.50.001.</i> <i>16.07.521.50.002.</i>	Плита поворотила	1
		$\Box$	3	16.07.521.50.002.	Плита поворотная Резцедержатель	1
	1		4	16.07.521.50.003.	Винт	1
	+		5	<i>16.07.521.50.004.</i>	Кронштейн правый	1
	-	$\dashv$	6	<i>16.07.521.50.006.</i>	Кронштейн левый	1
		$\dashv$	7	<i>16.07.521.50.000.</i>	Резцедержатель	1
7			8	16.07.521.50.008.	Тяга	1
Подп. и дата			9	16.07.521.50.009.	Тяга короткая	1
जेत. प			10	16.07.521.50.010.	Эксцентрик	2
По	3		11	<i>16.07.521.50.011.</i>	Ось	2
VQ			12	<i>16.07.521.50.012.</i>	Рукоятка	2
No or			13	<i>16.07.521.50.013.</i>	Шайба	2
MHB Nº A			14	<i>16.07.521.50.014</i> .	Торсион	1
31 33			15		Штифт	2
UHB. NO			16	<i>16.07.521.50.016.</i>	Штифт	1
Вэам			17	<i>16.07.521.50.017.</i>	Крышка	1
7	-			<i>16.07.521.50.018.</i>	Опора	2
Эата	-			16.07.521.50.019.	Опора осевая	1
Пада, и дата			20	<i>16.07.521.50.020.</i>	Крышка	1
JOU	Изм	Λυα	m	№ докум. Подп. Дата	<i>16.07.521.50.00</i>	<i>70.C1</i> 7
№ подл.	Раз При	190ð 18.		Гернов Расторгуев	<i>Lynnopm</i> $\square$	Лит. Лист Листо. Д 1 2
WHO. A	Нк Ут	онт, в.		диткалов Гобровский	двух резцовый Т	TY TM3-100

	Формат Зона	1703.	Обозначение	Наименование	Kon.	Приме- чание
		21	16.07.521.50.021.	Опора винта	1	
			<i>16.07.521.50.022.</i>	Стопор	1	
		23	<i>16.07.521.50.023.</i>	Рычаг	1	
	Ш					
	Ш					
	Ш					
		6				
	Ш	40.		Стандартные изделия		
	Ш	0/		0.400.405.4.455025404	-	
	Ш	24		Винт 2 М20 х 1,25-6д х 47.58.35Х.01	2	
		٥٢	8	ΓΟCT P 11738-84	7	
	$\vdash$	25		Винт 2 M4 x 1,25-6g x67.58.35 X.01	3	
	$\vdash$	20		FOCT P 11738-84	1	
		26		OCB 1-20 HM x 60.0xLm3cn40.857-Xum0xc.nxm TOCT 9650-80	1	
ſΤ	$\vdash$	27		Винт 2 M14 x 1,25-6g x20 7.58.35X.01	2	
рша	H	28	8	FOCT P 11738-84	2	
Тодп. и дата	+	20		Винт 2 M16 x 1,25-6q x25 7.58.35 X.О1 ГОСТ Р 11738—84		
Nodi	$\vdash$	29		Л.ОТТОСТ Р 11730—04 Падшипник 7000116 К ГОСТ 8338-75	2	
~	H	30		Винт 2 M14 x 1,25-6q x30 7.58.35	4	
ayon		JU		X.01	4	-
Q Vo		31		Шайба А.2.0,1.08Х18Н12Т.Ти9	4	
OHU O	$\vdash$	1		FOCT 11371-78	4	
UHB. NO	$\vdash$	32		Винт 2 М12 х 1,25-6д х40 7.58.35	2	
	$\vdash$	12	5	X.01 FOCT P 11738-84	_	
Вэам	$\vdash$	33		Пружина 7039- 2011 ГОСТ 13165-67	2	
שמ	$\vdash$	ارر		npgmana 1037 - 2011 i OCT - 13105 OT	_	
Тадг. и дата	+				3	
pgu.	$\vdash$	100			6	
y		8				
№ подл.						
? NO.	Ħ			16.07.521.50.000.СП		Лис
MAG	Nam /	ucm	№ докум. Подп. Дата	10.07.321.30.000.L11		2

	Формат	ЗОНО	Mas.	Обозначе	HUP	Наименован	HUE §	Приме- Чание
Перв. примен						<u>Документа</u>	ЦИЯ	
/Jep	A1			16.07.521.60.000.	CE .	Сборочный черт	ex i	1
						Сборочные еда	<i>ИНИЦЫ</i>	
Cripad Nº			1	<i>16.07.521.60.100.</i>		Суппорт	1	1
S			2	16.07.521.60.200.		Шаговый двигат	Description	1
	Ц		3	16.07.521.60.300.		Датчик Bently-I		
30. 34			4	<i>16.07.521.60.400.</i>		Датчик DTJ-A-2	200 1	
Подп. и дата								
MHB Nº BYÓN								
Вэан. инд. №								
Подп. и дата								
Nodn	Изм. Лист Nº докум. Подп. Дата			№ дакум Подл. Дат	na .	16.07.521.60.000.CIT		
Инв. № подл.	Разраб. Чернов Пров. Расторгуев Нконтр. Виткалов			Нернов Растаргуев	Kon	Контрольная ДД система ТГУ		7. <u>Nucmot</u> 13-100